

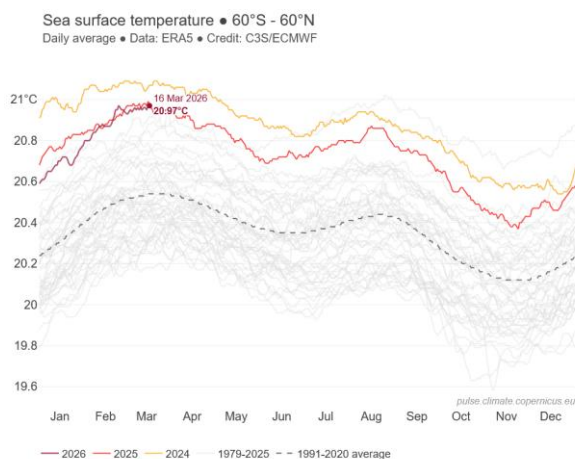
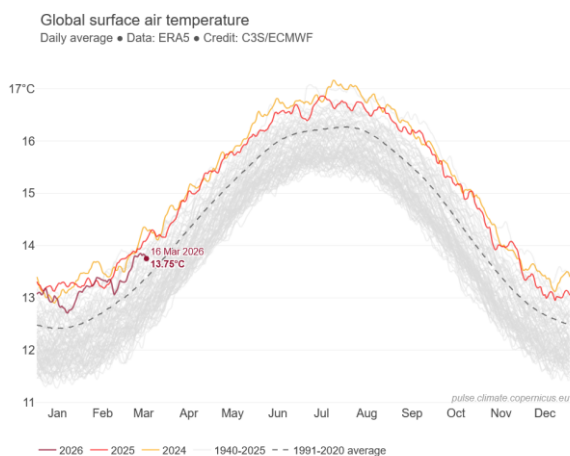


Арктический и антарктический
научно-исследовательский институт

Информационные материалы по мониторингу морского ледяного покрова
Арктики и Южного Океана на основе данных ледового картирования и
пассивного микроволнового зондирования SSMR-SSM/I-SSMIS-AMSR2

09.03.2026 – 17.03.2026

№ 11(754)



Санкт-Петербург 2026

тел. +7(812)337-3149, эл. почта: vms@aari.ag

Адрес в сети Интернет: <http://wdc.aari.ru/datasets/doo42/>

Примечание: Настоящий информационный продукт МЦД МЛ ААНИИ, включая его составляющие, не относится к информационным ресурсам ЕСИМО, нацелен на климатический мониторинг Северной и Южной полярных областей и не предназначен для использования в навигационных целях

Содержание

Северное Полушарие	3
Рисунок 1а – Обзорная ледовая карта СЛО (цветовая раскраска по общей сплоченности)	3
Рисунок 1б – Обзорная ледовая карта СЛО (цветовая раскраска по преобладающему возрасту)	4
Рисунок 1в – Мозаика снимков Sentinel-1 и положение крупных полыней по данным AMSR2	5
Рисунок 1г – Поле дрейфа морского льда СЛО по данным AMSR2	6
Рисунок 2а - Оценка толщины льда и степени разрушенности по данным AMSR2	7
Рисунок 2б - Оценка толщины льда на основе данных ИСЗ CryoSat-2-SMOS-S3	8
Рисунок 3а – Обзорная ледовая карта СМП.	9
Рисунок 3б - Оценка толщины льда и, мозаика радиолокационных снимков СМП	10
Рисунок 4а – Ледовые условия за текущий и аналогичные периоды 2007-2025 гг	11
Рисунок 4б – Оценка возраста льда (сутки) за 2018 – 2026 гг. по данным AMSR2	12
Рисунок 4в – Поля распределения модельной ошшины льда за 2005-2026 гг.	13
Рисунок 4г – Ежедневные оценки сезонного хода объема морского льда СЛО	14
Рисунок 5а – Аномалии приземной температуры воздуха и поверхности моря за последние сутки.	15
Рисунок 5б – Аномалии приземной температуры воздуха за последнюю пентаду 2023-2026 гг	16
Рисунок 5в – Аномалии приземной суммы осадков за последнюю пентаду 2023-2026 гг.	17
Таблица 1 - Медианные значения ледовитости по акваториям Северной полярной области	18
Таблица 2 – Экстремальные значения ледовитости по акваториям Северной полярной области	19
Таблица 3 – Динамика изменения значений ледовитости по акваториям Северной полярной области	19
Рисунок 6а – Ежедневные оценки ледовитости по акваториям Северной Полярной Области	21
Рисунок 6б – Ежедневные оценки сезонной ледовитости Северной Полярной Области	22
Южный океан	23
Рисунок 7а – Ледовая карта Южного океана (цветовая окраска по общей сплоченности)	23
Рисунок 7б – Ледовая карта Южного океана (цветовая окраска по возрасту)	24
Рисунок 7в – Положение кромки льда и зон разреженных морского льда Южного океана	25
Рисунок 7г – Поле дрейфа морского льда Южного океана по данным AMSR2	26
Рисунок 8 – Оценка возраста льда Южного океана по данным AMSR2	27
Рисунок 9 – Аномалии приземной температуры воздуха и поверхности океана за текущие сутки.	28
Таблица 4 – Линейные размеры и площадь крупных айсбергов Южного океана	29
Рисунок 10а – Ежедневные оценки сезонного хода ледовитости акваторий Южного Океана	30
Рисунок 10б – Ежедневные оценки сезонных изменений ледовитости Южного океана за период	31
Таблица 5 – Медианные и экстремальные значения ледовитости Южного океана	32
Таблица 6 – Динамика изменения значений ледовитости морей Южного океана	32
Рисунок 11а – Среднегодовая сглаженная ледовитость Арктики, Антарктики и Земли в целом	33
Рисунок 11б – Среднегодовая сглаженная площадь морского льда Арктики, Антарктики и Земли в целом	34
Рисунок 11в – Среднегодовая сглаженная общая сплоченность Арктики и Антарктики	35
Таблица 8 – Средние, аномалии среднего и экстремальные значения ледовитостей для Северной и Южной полярных областей и её отдельных акваторий	36
Таблица 10 – Динамика изменения ледовитости морей Северной полярной области и Южного океана	40
Характеристика исходного материала и методика расчетов	41
Список источников	46

Северное Полушарие

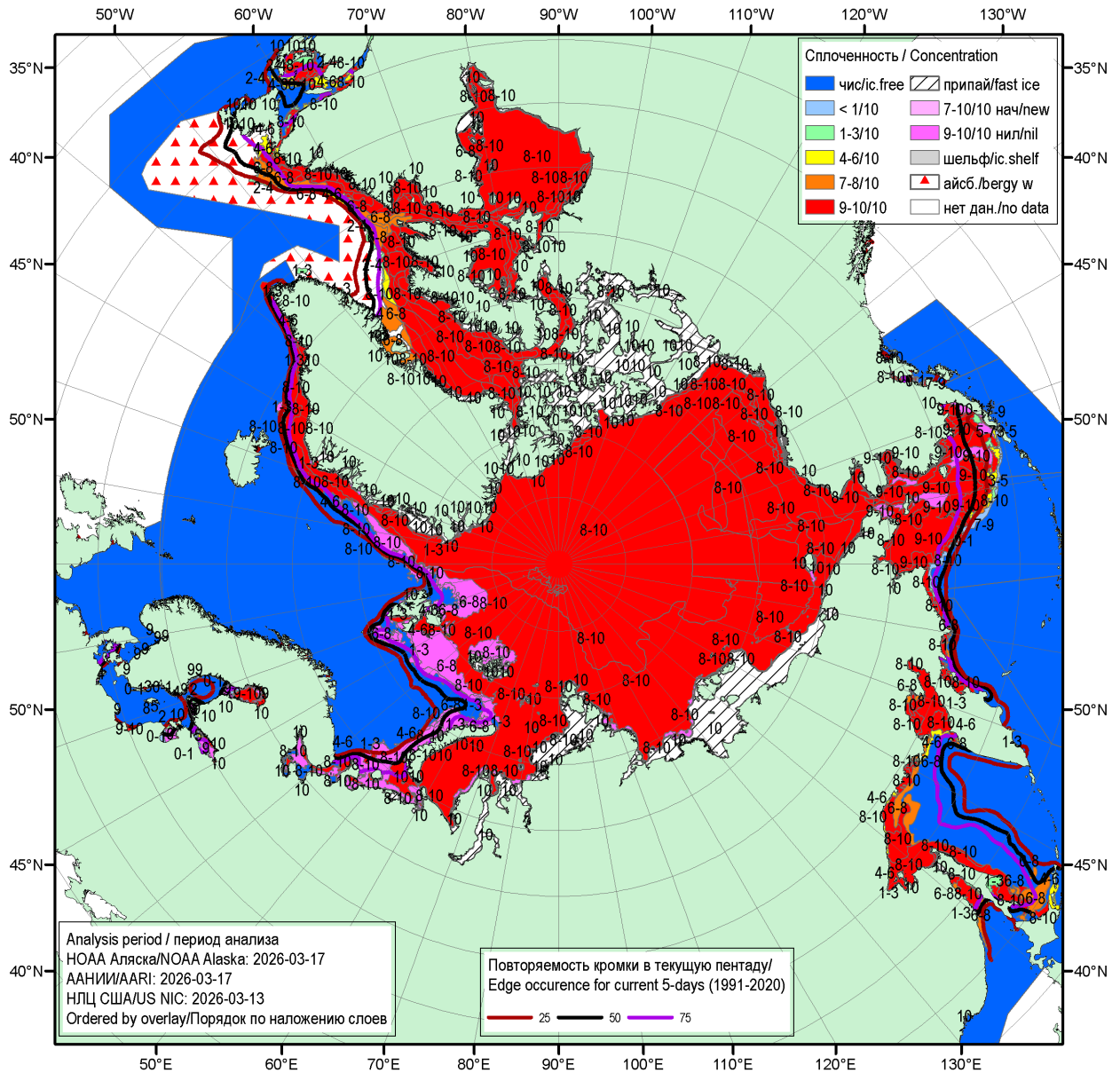


Рисунок 1а – Обзорная ледовая карта СЛО за 13.03.2026 – 17.03.2026 (цветовая раскраска по общей сплоченности) на основе ледового анализа NOAA Аляска, ААНИИ и Национального ледового центра США и повторяемость кромки за соответствующий 5-дневный период за 1991-2020 гг. по наблюдениям SSMR-SSM/I-SSMIS (алгоритм NASATEAM) [4, 10, 23, 17].

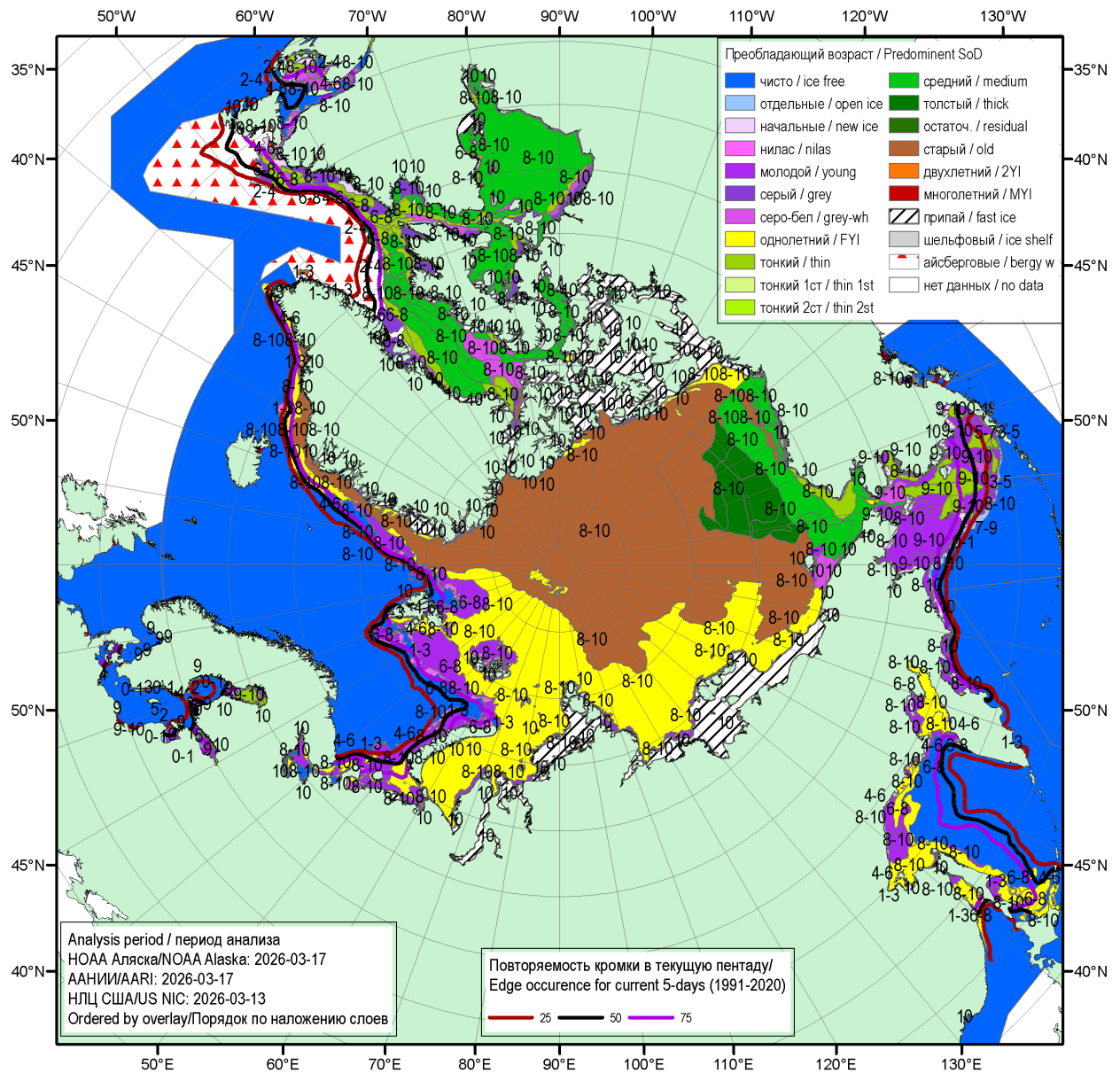


Рисунок 16 – Обзорная ледовая карта СЛО за 13.03.2026 – 17.03.2026 (цветовая раскраска по преобладающему возрасту) на основе ледового анализа NOAA Аляска, ААНИИ и Национального ледового центра США и повторяемость кромки за соответствующий 5-дневный период за 1991-2020 гг. по наблюдениям SSMR-SSM/I-SSMIS (алгоритм NASATEAM) [4, 10, 23, 17].

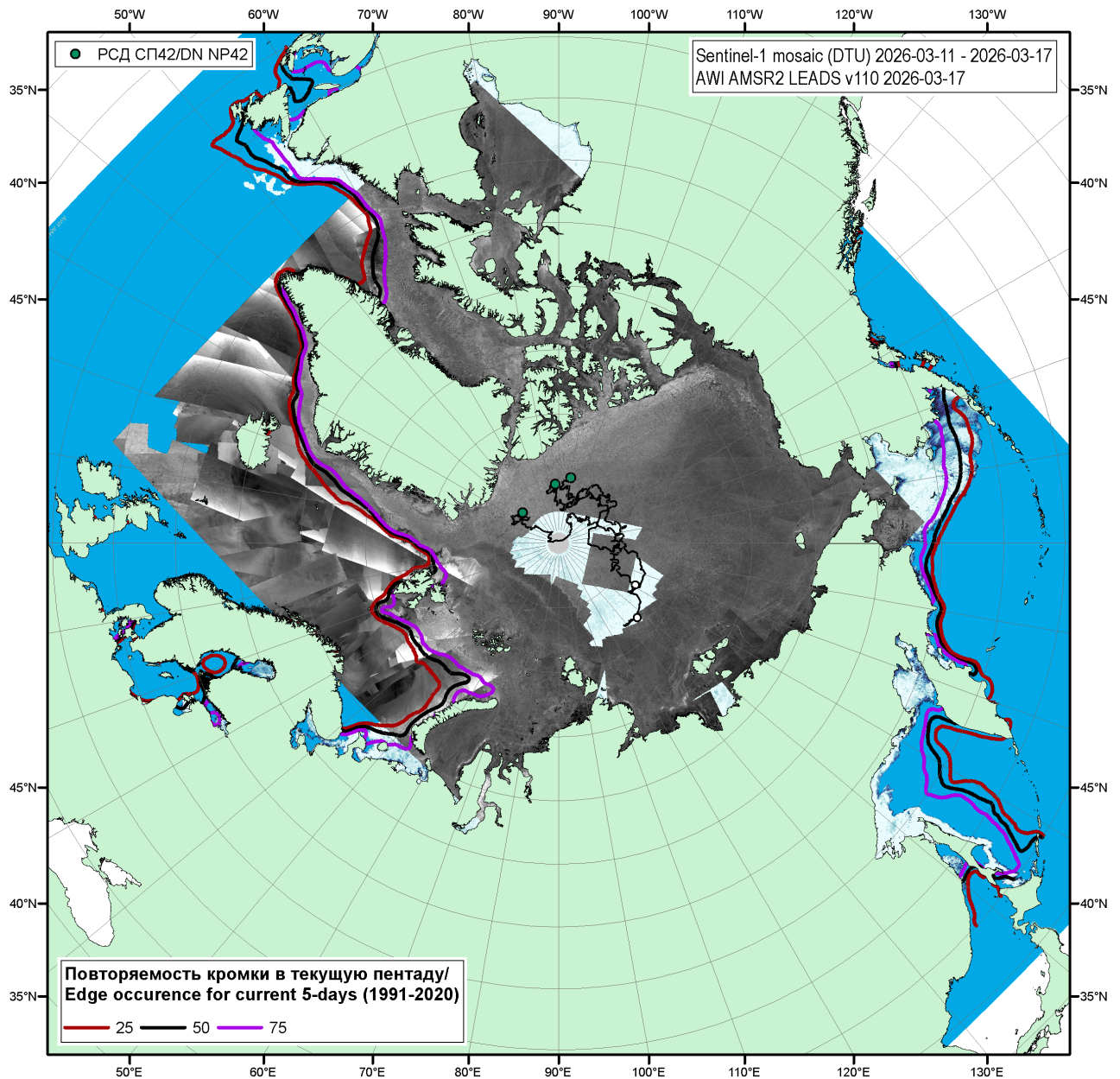


Рисунок 1в – Мозаика снимков Sentinel-1 (DTU) за 11.03.2026 – 17.03.2026, положение крупных полыней по данным AMSR2 за 17.03.2026 (AWI v110), повторяемость кромки за соответствующий 5-дневный период за 1991-2020 гг. по наблюдениям SSMR-SSM/I-SSMIS (алгоритм NASATEAM) и положение РСН СП-42 на 18.03.2025 г. 08:00МСК.

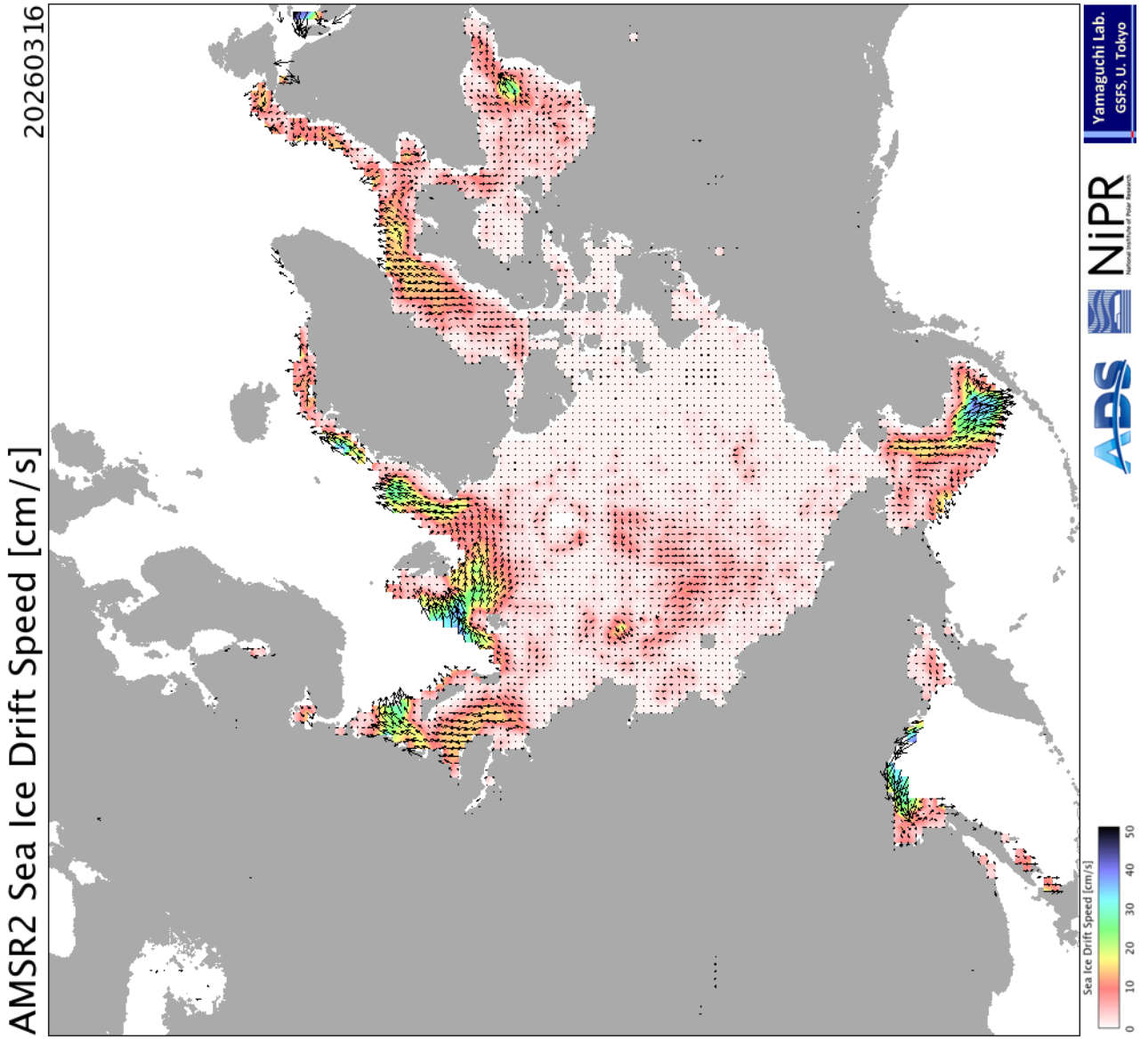
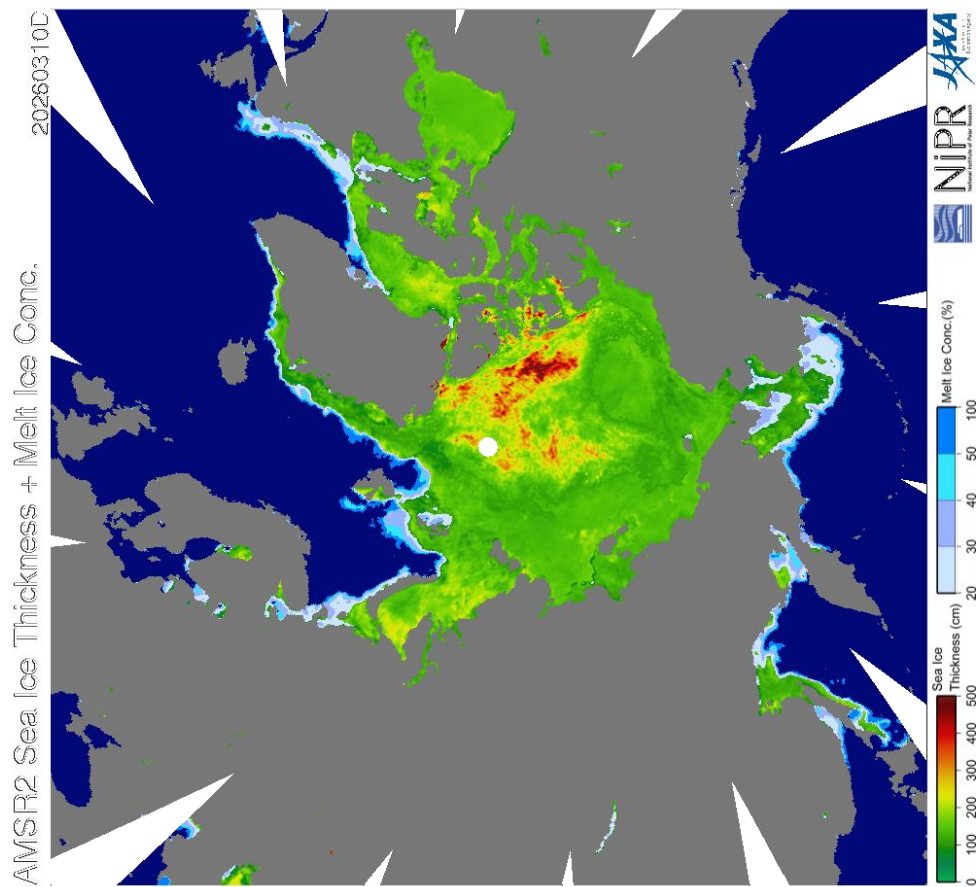
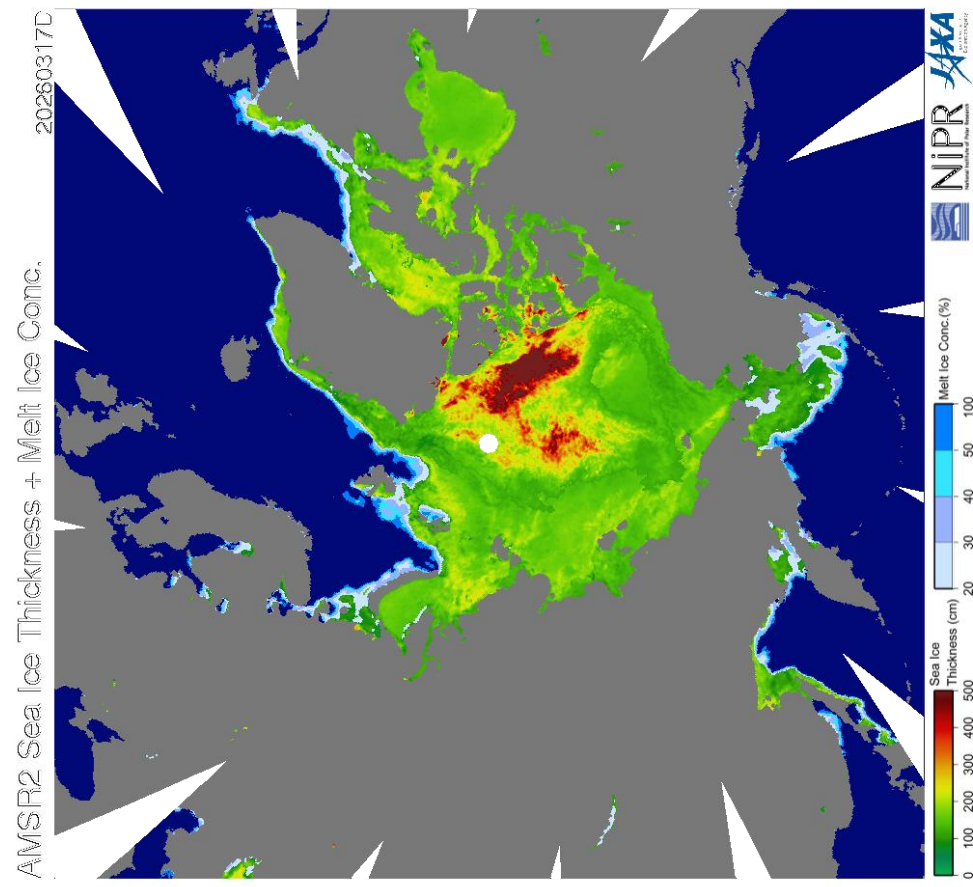


Рисунок 1г – Поле дрейфа морского льда Северной полярной области за последний доступный срок по данным AMSR2, источник JAXA [29].

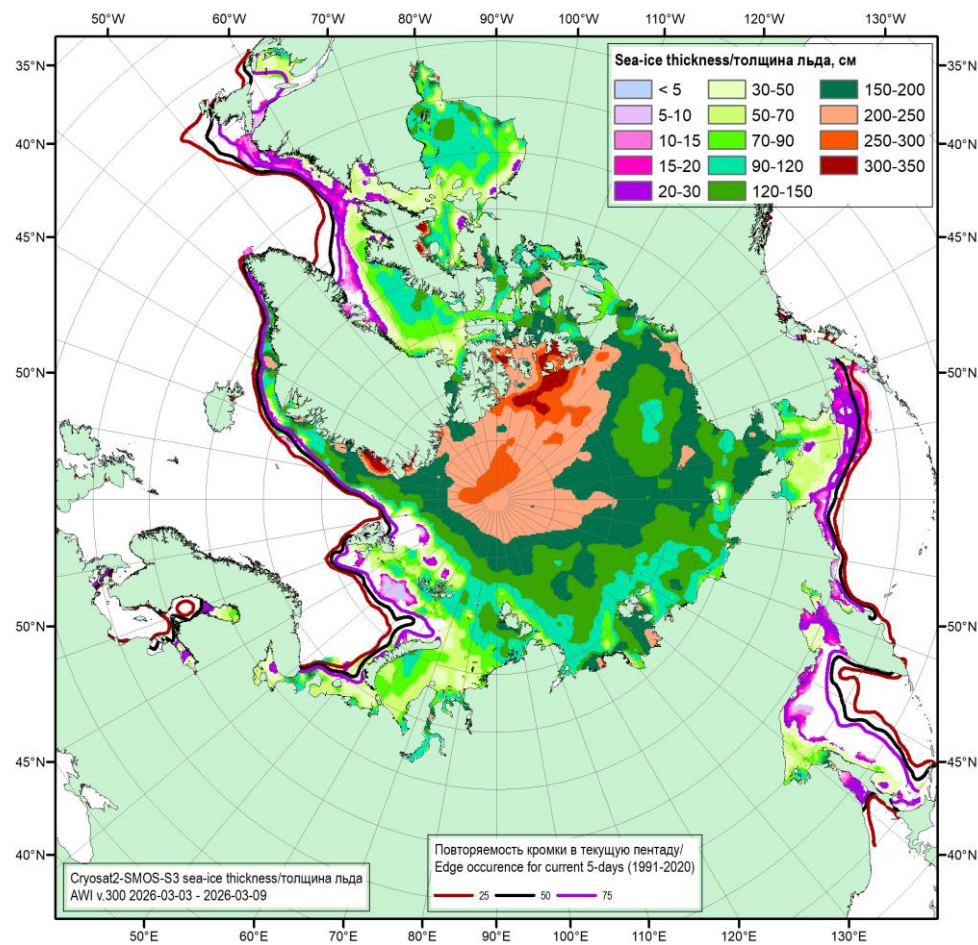


2026.03.10

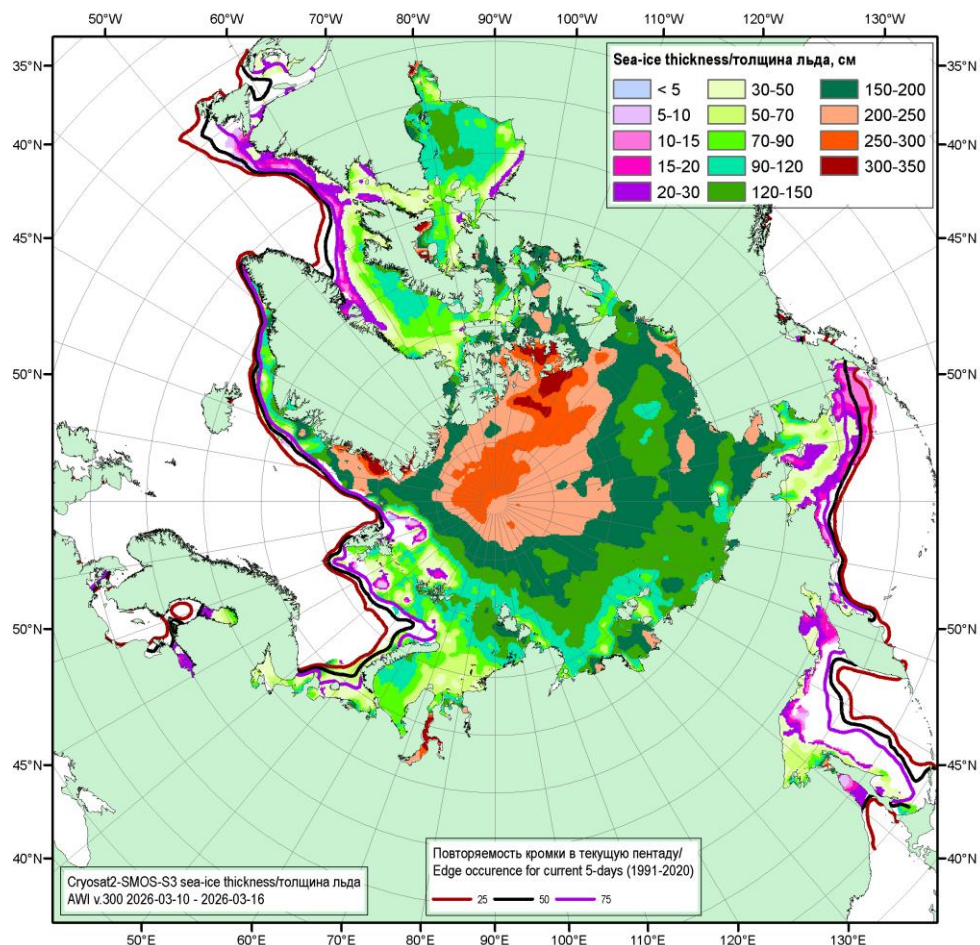
Рисунок 2а - Оценка толщины льда и степени разрушенности на основе данных пассивного микроволнового зондирования AMSR2 за текущий и предыдущий сроки [29].



2026.03.17



2026.03.09



2026.03.16

Рисунок 26 - Оценка толщины льда на основе данных ИСЗ CryoSat-2-SMOS-S3 за текущий и предыдущий 7-дневные интервалы (AWI, ver.300) и повторяемость кромки за соответствующие 5-дневные промежутки за период 1991-2020 гг. по наблюдениям SSMR-SSM/I-SSMIS (алгоритм NASATEAM).

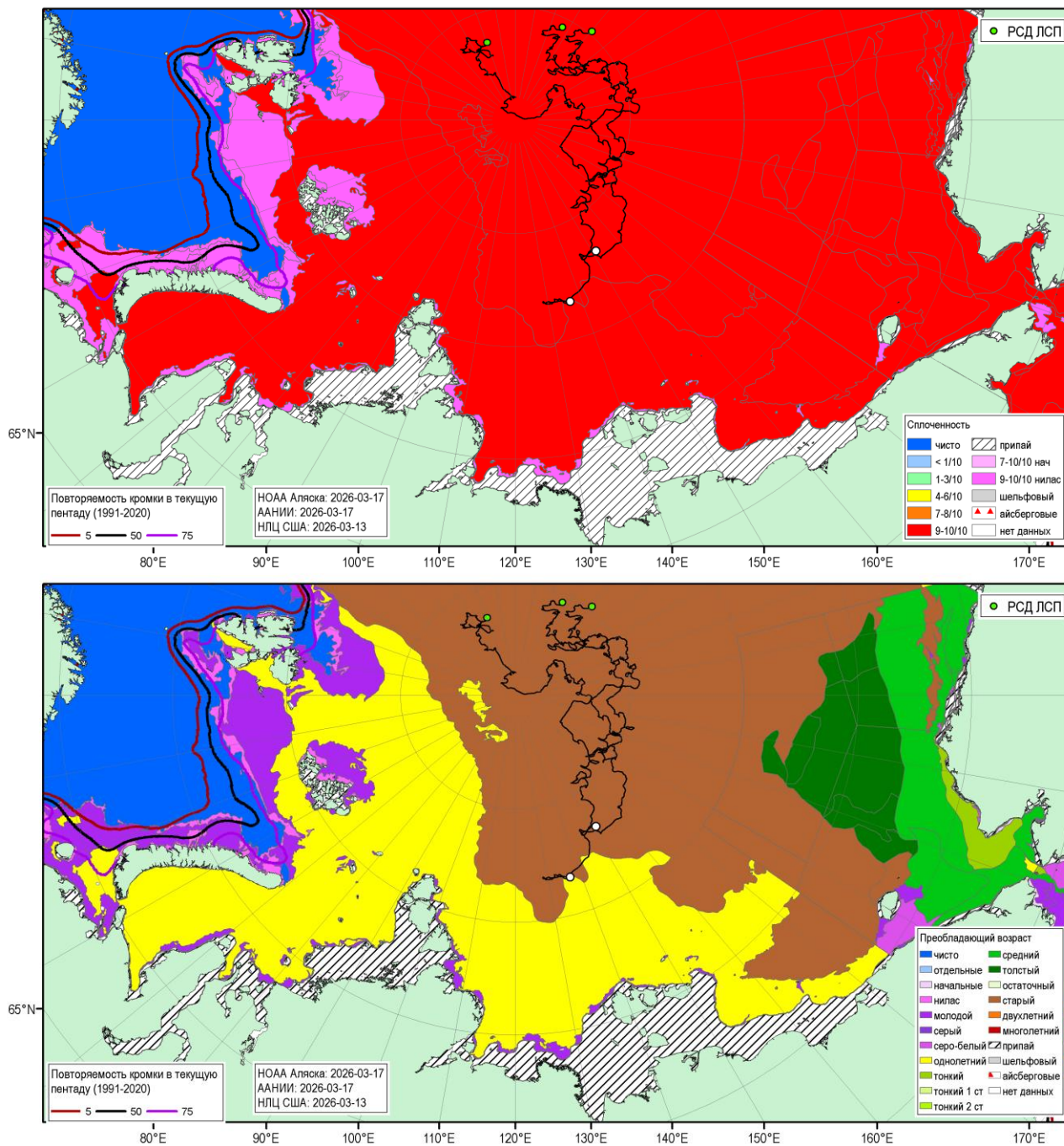


Рисунок 3а – Обзорная ледовая карта СМП за 13.03-17.03.2026 г. на основе ледового анализа НОАА Аляска, ААНИИ, повторяемость кромки за соответствующий 5-дневный период 1991-2020 гг. по наблюдениям SSMR-SSM/I-SSMIS (алгоритм NASATEAM) и положение РСН СП-42 на 18.03.2026 0800МСК [27, 28, 17].

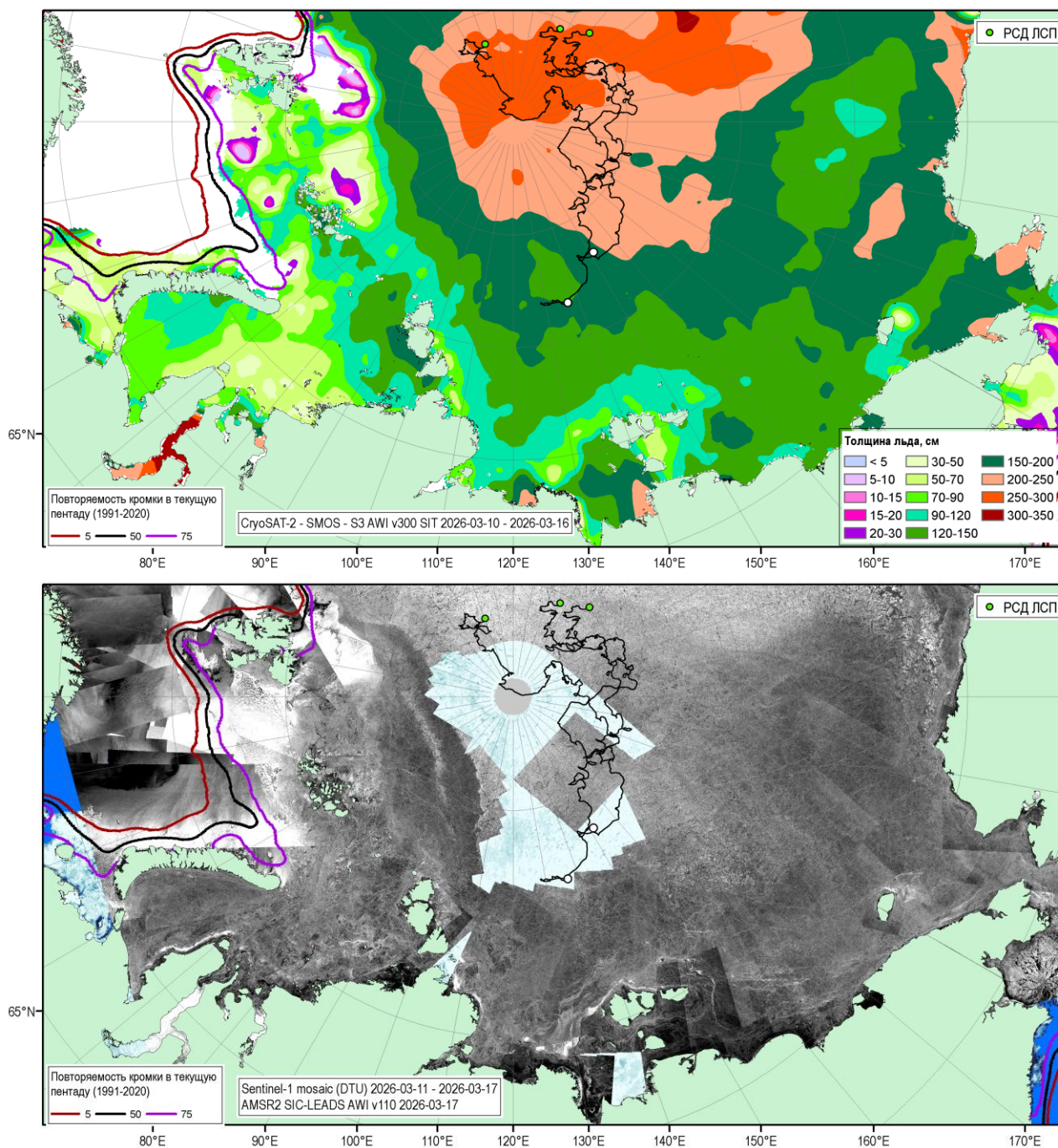
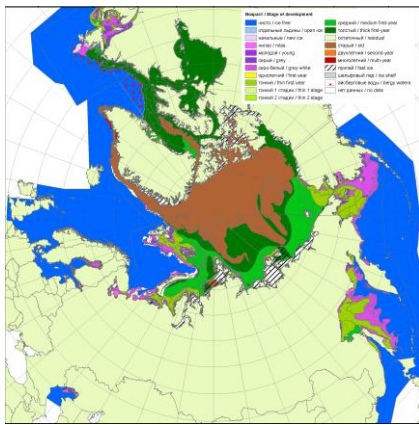
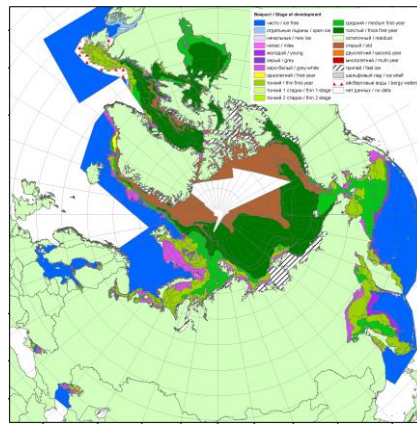


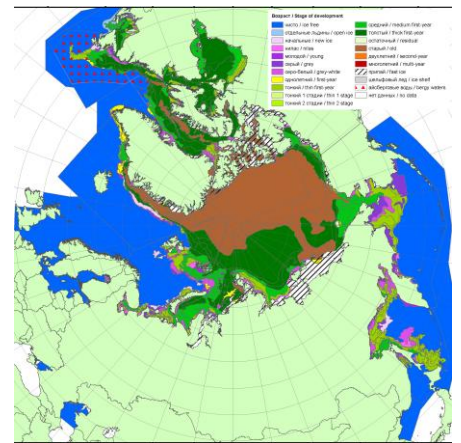
Рисунок 36 - Оценка толщины льда на акватории СМП на основе данных ИСЗ CryoSat-2-SMOS-S3 за 10.02.2026-16.03.2026 (AWI, ver.300), мозаика радиолокационных снимком ИСЗ Sentinel-1AC за 11.03-17.03.2026 (DTU), оценка положения польней на основе данных AMSR2 (AWI v110) за 17.03.2026, повторяемость кромки за соответствующие 5-дневные промежутки 1991-2020 гг. по наблюдениям SSMR-SSM/I-SSMIS (алгоритм NASATEAM) и положение РЧД СП-42 на 08МСК 18.03.2026



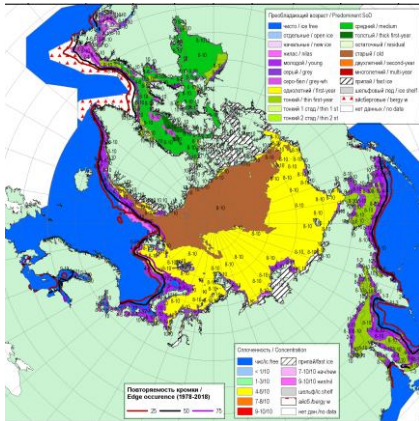
2007



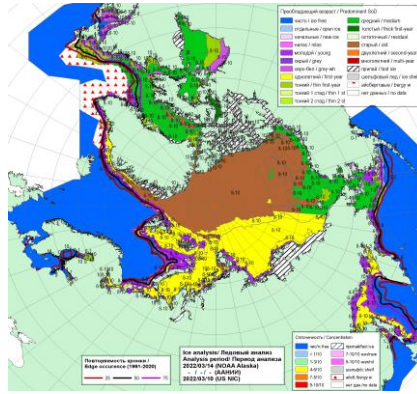
2012



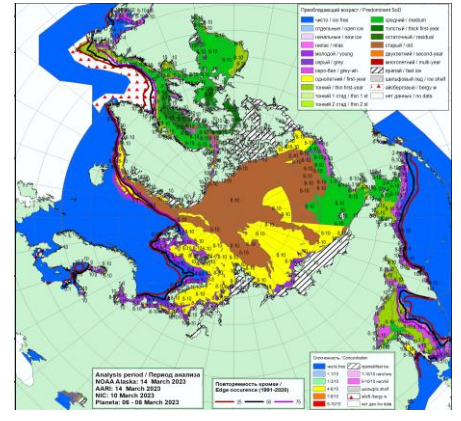
2014



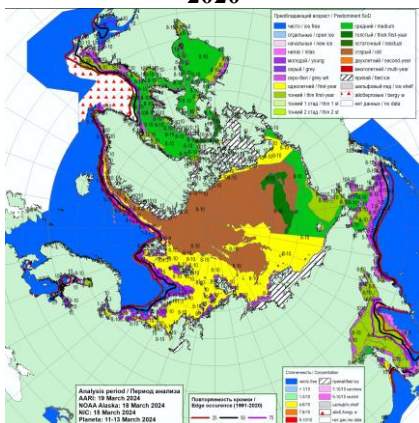
2020



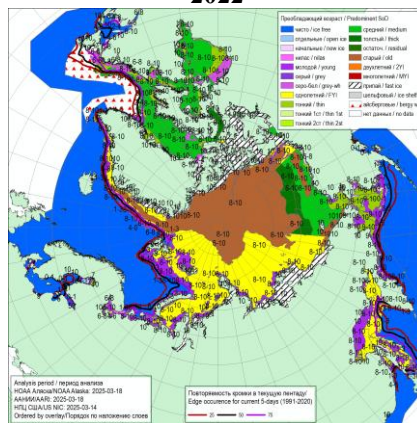
2022



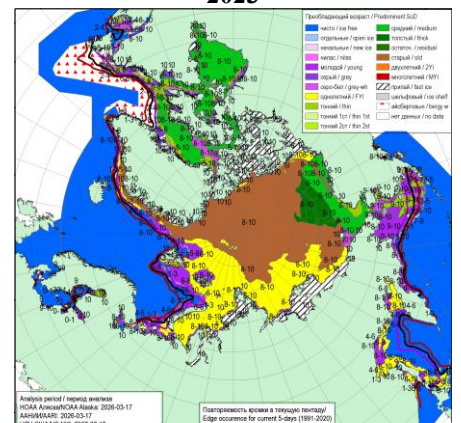
2023



2024

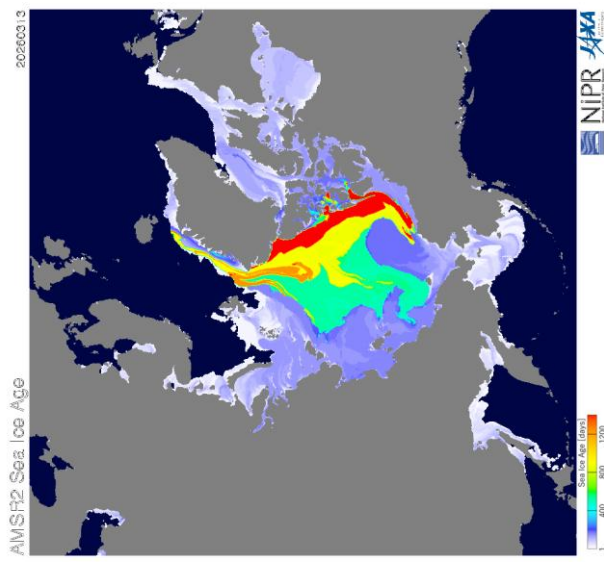


2025

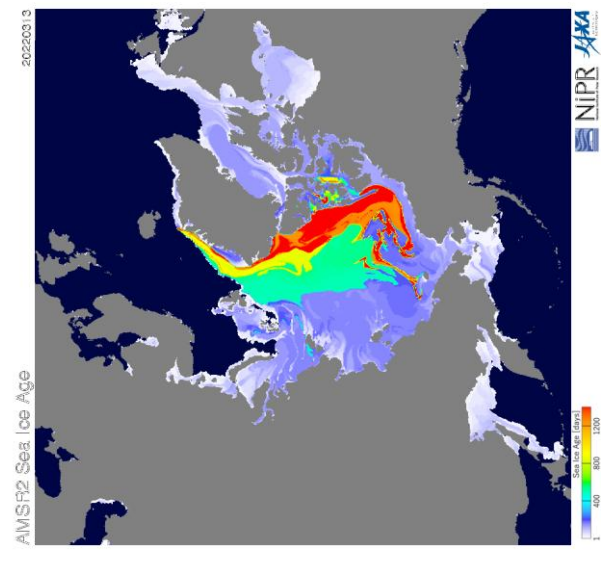


2026

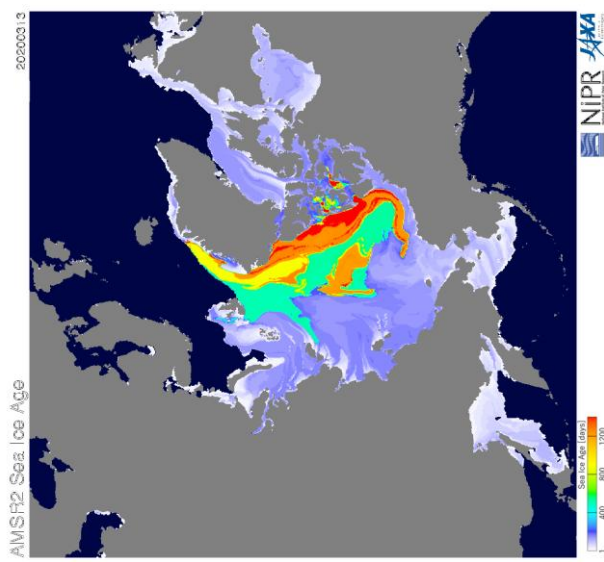
Рисунок 4а – Ледовые условия за 13.03 - 17.03.2026. и аналогичные периоды 2007-2025 гг. на основе ледового анализа ААНИИ, НИЦ Планета, Канадской ледовой службы, Национального ледового центра США и НОАА Аляска [4, 10, 12, 23, 17].



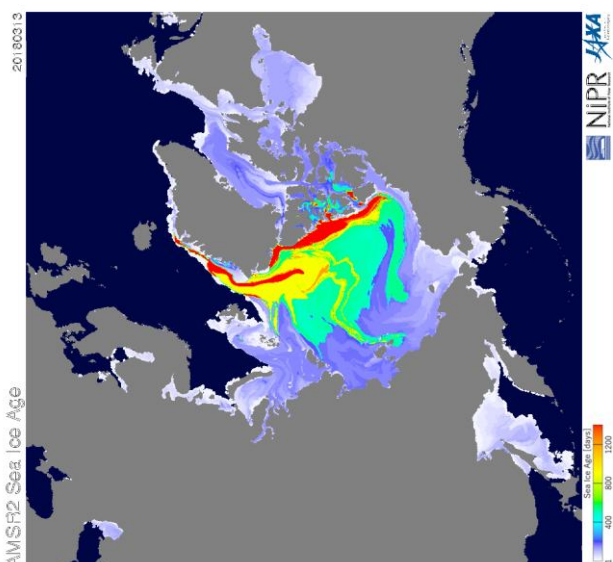
2026



2022

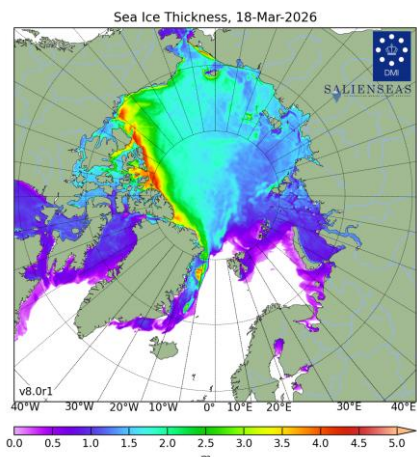


2020

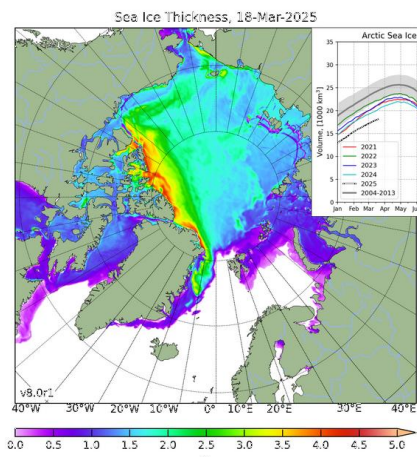


2018

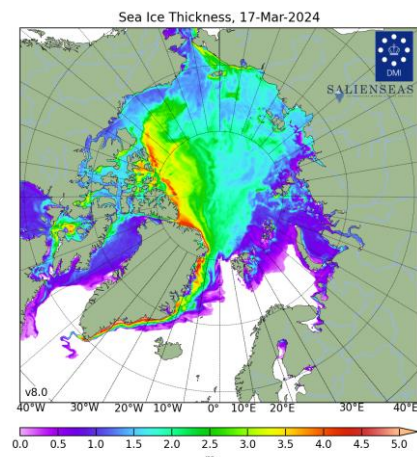
Рисунок 46 – Оценка возраста льда (сутки) на 13.03 за 2018 – 2026 гг. по данным JAXA-NIPR [29]



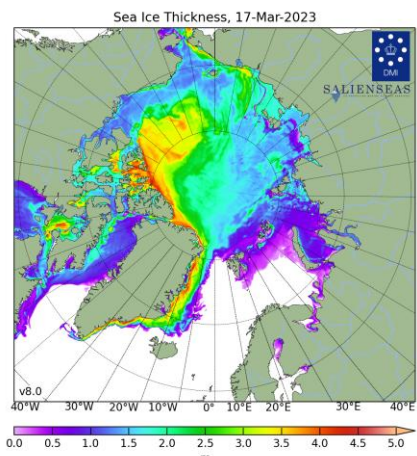
2026



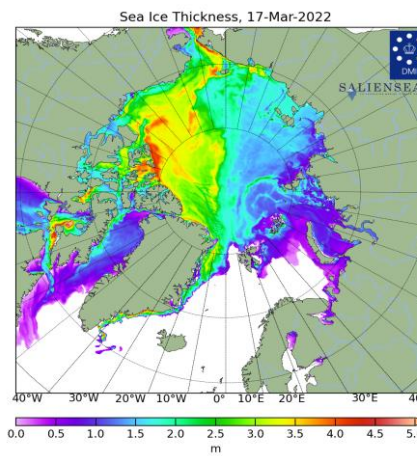
2025



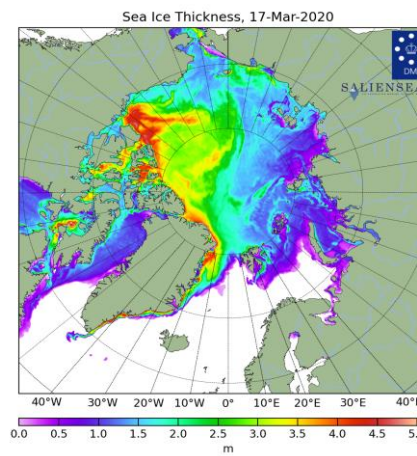
2024



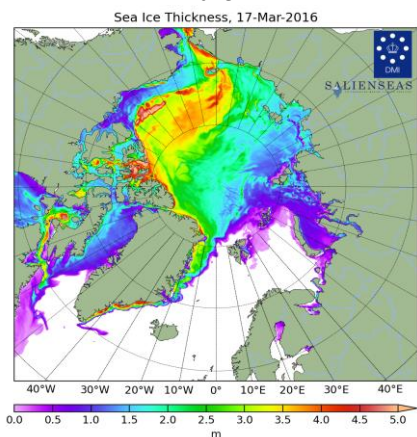
2023



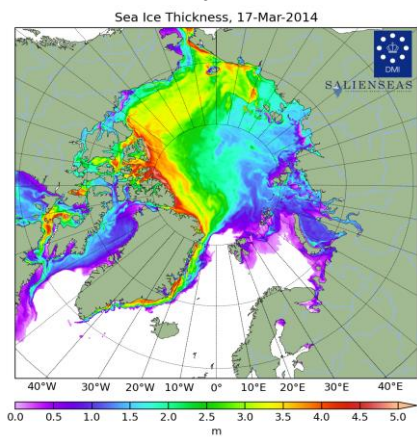
2022



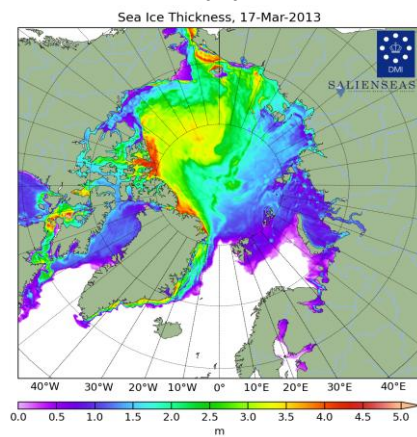
2020



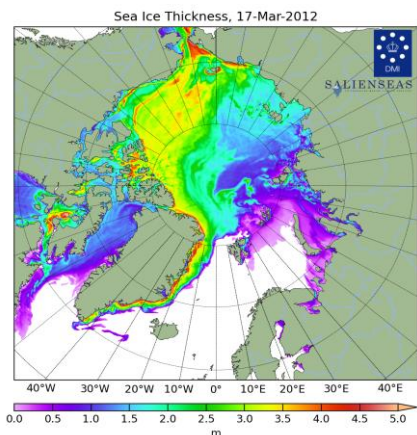
2016



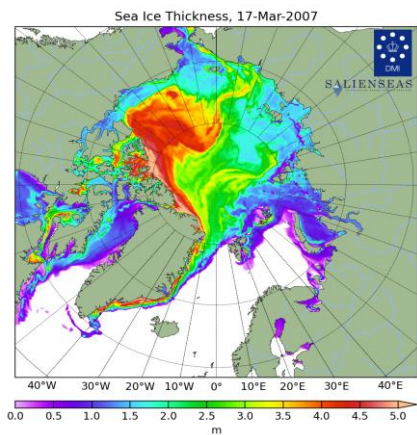
2014



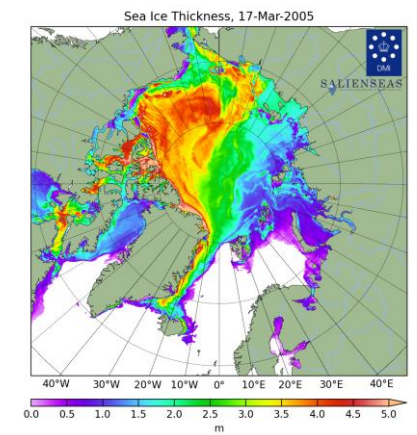
2013



2012



2007



2005

Рисунок 4в – Поля распределения средневзвешенной толщины льда совместной модели морского льда – океана NUSOM/CICE Датского метеорологического института 17-18.03 за 2005-2026 гг. [22].

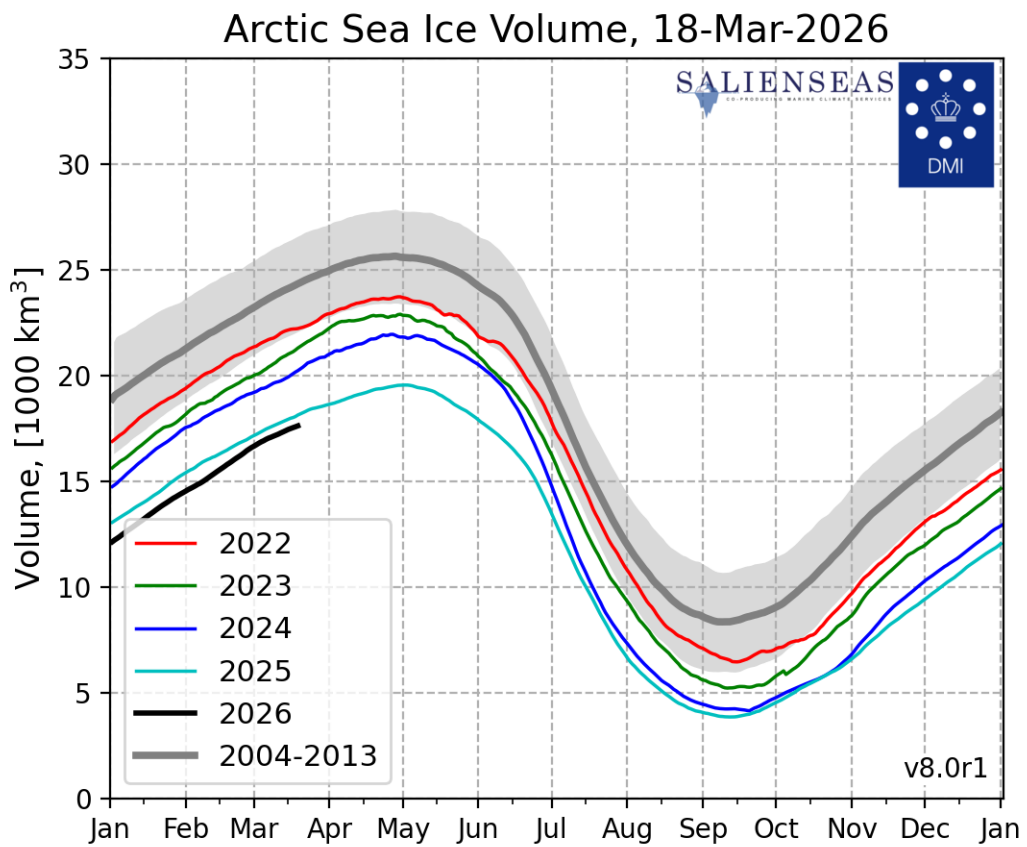


Рисунок 4г – Ежедневные оценки сезонного хода объема морского льда СЛО на основе расчетов средневзвешенной толщины льда совместной модели морского льда – океана HYCOM/CICE Датского метеорологического института с 28.02.2004 по последний доступный срок [22].

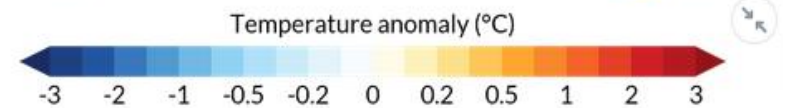
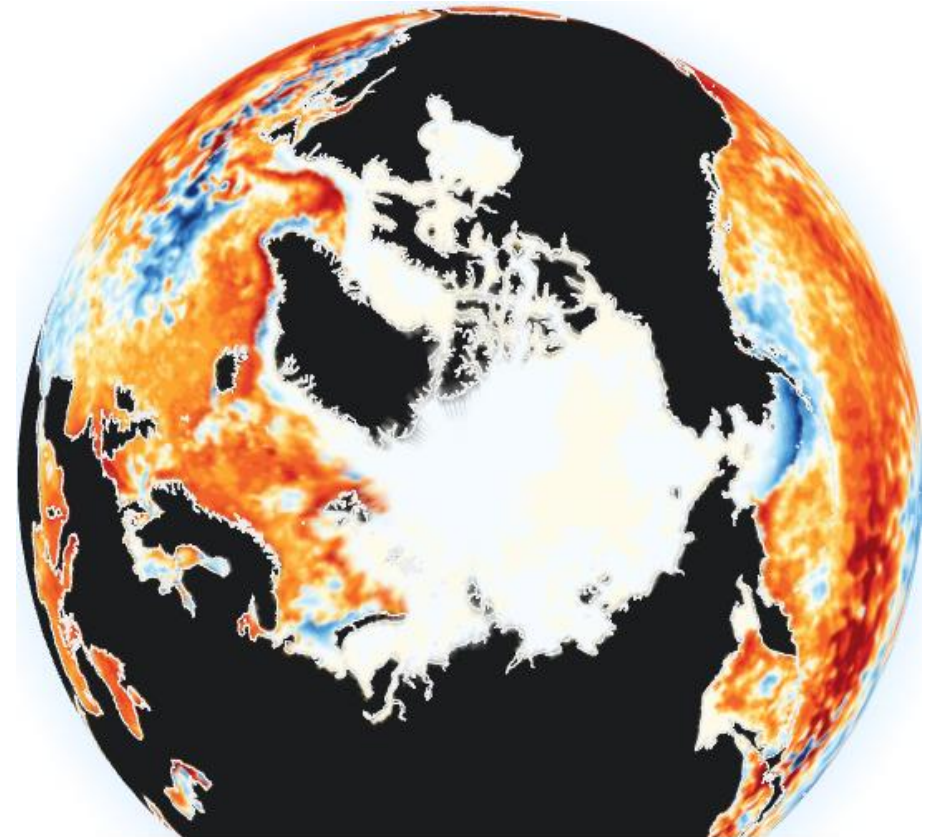
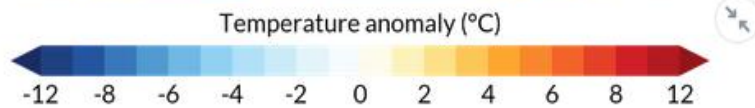
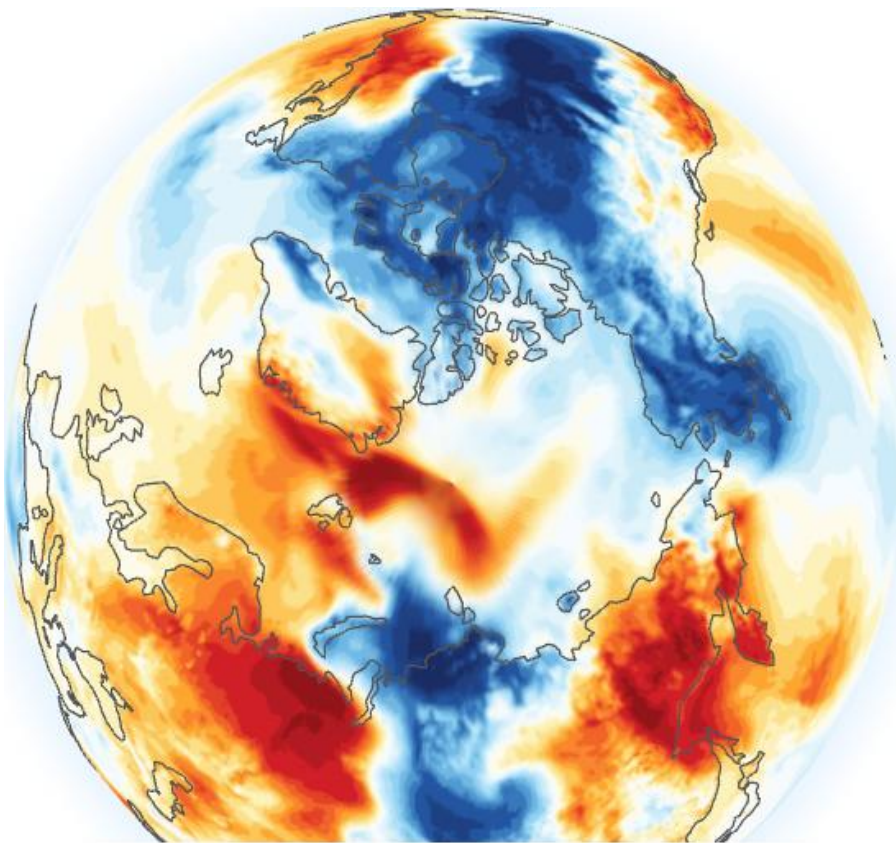


Рисунок 5а – Аномалия приземной температуры воздуха (2м) и температуры поверхности моря на 16.03.2026 г. относительно периода 1991-2020 гг. - The [Copernicus Climate Change Service \(C3S\)](#), implemented by the [European Centre for Medium-Range Weather Forecasts \(ECMWF\)](#) on behalf of the European Commission is part of the European Union's space programme

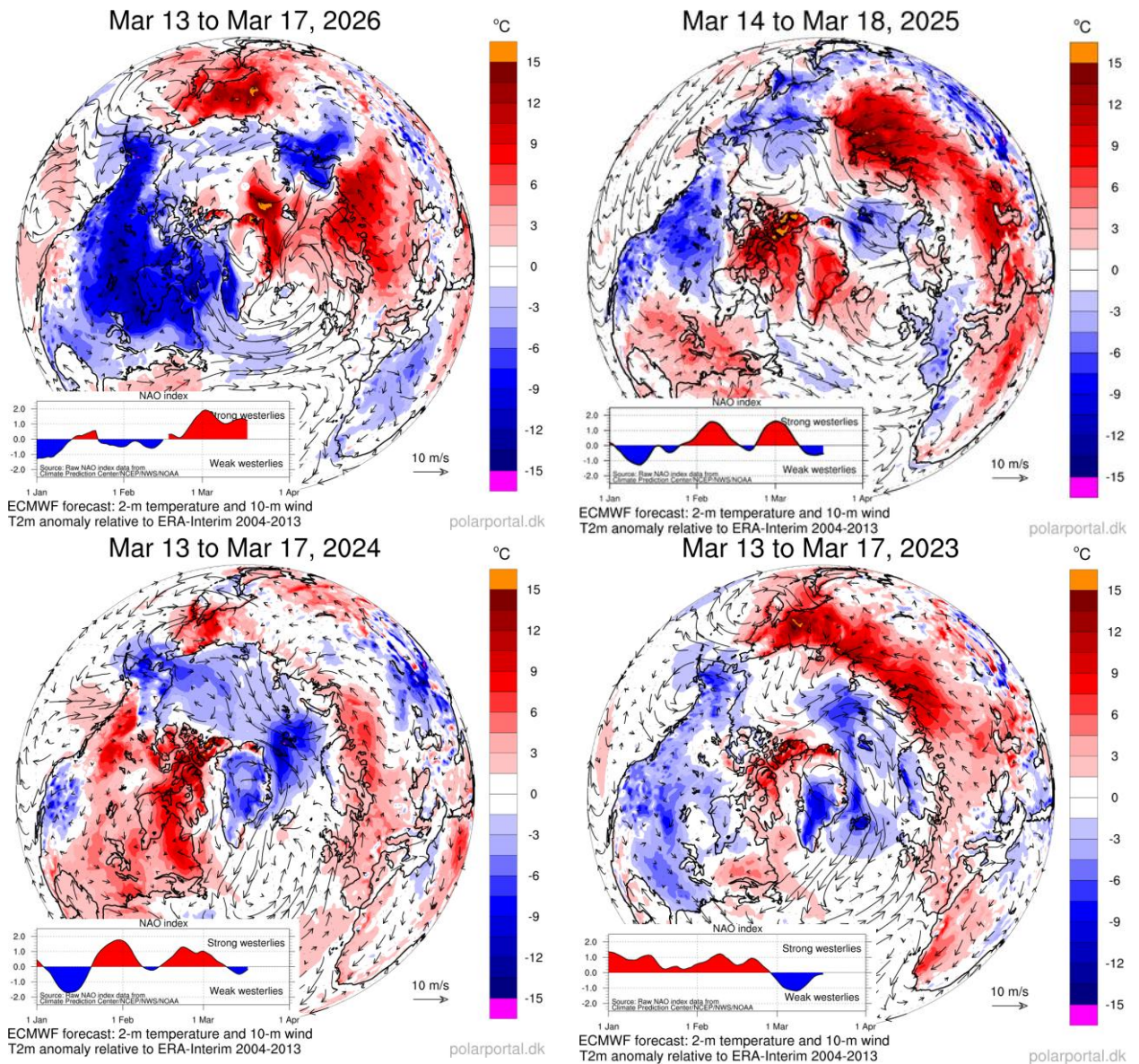


Рисунок 5б – Аномалии приземной температуры воздуха (2м) и осредненные вектора скорости ветра (10 м) за последнюю пентаду 2022-2025 гг. относительно периода 2004-2013 гг. (<http://polarportal.dk>) [22]

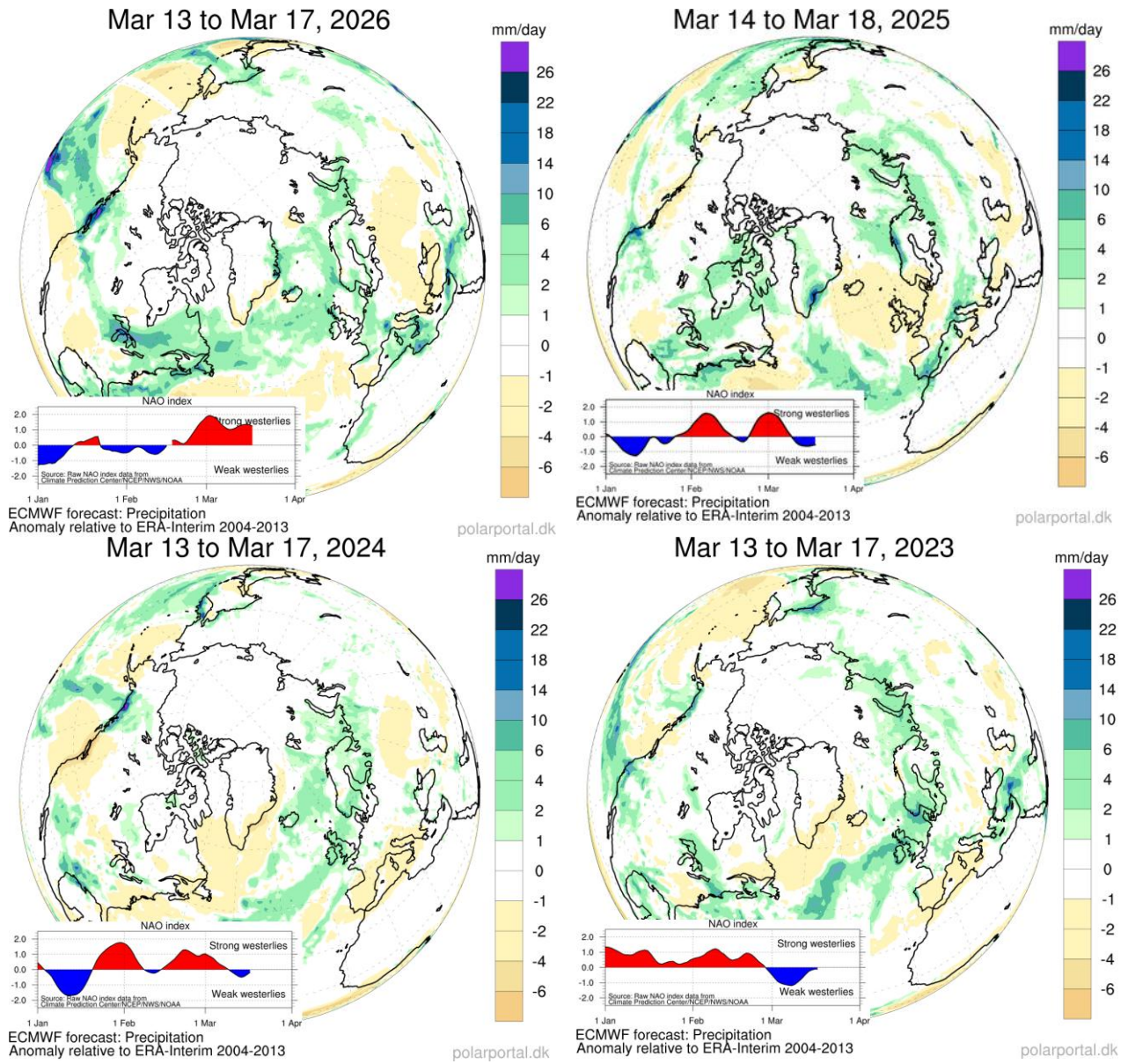


Рисунок 5в – Аномалии приземной суммы осадков за последнюю пентаду 2022-2025 гг. относительно периода 2004-2013 гг [22].

Таблица 1 - Медианные значения ледовитости для Северной полярной области, 3-х меридиональных секторов и морей СМП за текущие 30 и 7-дневные интервалы, и её аномалии от 2020-2024 гг. и интервалов 2015-2025 гг. и 1978-2025 гг. по данным наблюдений SSMR-SSM/I-SSMIS, алгоритмы NASATEAM [13-17] Северная полярная область

Северная полярная область

Месяц	S, тыс. км2	Аномалии, тыс км2/%						
		2021 г	2022 г	2023 г	2024 г	2025 г	2016-2026гг	1978-2026гг
16.02-15.03	14472.4	-310.3	-507.4	-198.9	-580.7	193.6	-148.6	-826.1
		-2.1	-3.4	-1.4	-3.9	1.4	-1.0	-5.4
09-15.03	14498.8	-434.1	-369.3	-157.4	-691.5	62.0	-202.4	-844.0
		-2.9	-2.5	-1.1	-4.6	0.4	-1.4	-5.5

Сектор 45°W-95°E (Гренландское - Карское моря)

Месяц	S, тыс. км2	Аномалии, тыс км2/%						
		2021 г	2022 г	2023 г	2024 г	2025 г	2016-2026гг	1978-2026гг
16.02-15.03	3357.3	-71.8	-9.8	164.2	-49.1	233.1	118.3	-255.2
		-2.1	-0.3	5.1	-1.4	7.5	3.7	-7.1
09-15.03	3286.3	-232.6	12.9	-84.3	-192.5	94.7	-13.4	-333.2
		-6.6	0.4	-2.5	-5.5	3.0	-0.4	-9.2

Сектор 95°E-170°W (моря Лаптевых - Чукотское, Берингово, Охотское)

Месяц	S, тыс. км2	Аномалии, тыс км2/%						
		2021 г	2022 г	2023 г	2024 г	2025 г	2016-2026гг	1978-2026гг
16.02-15.03	4506.7	-383.3	-188.3	-340.9	-534.5	-105.8	-283.2	-456.3
		-7.8	-4.0	-7.0	-10.6	-2.3	-5.9	-9.2
09-15.03	4458.9	-514.8	-219.6	-327.5	-604.9	-279.7	-341.6	-523.2
		-10.4	-4.7	-6.8	-11.9	-5.9	-7.1	-10.5

Сектор 170°W-45°W (море Бофорта и Канадская Арктика)

Месяц	S, тыс. км2	Аномалии, тыс км2/%						
		2021 г	2022 г	2023 г	2024 г	2025 г	2016-2026гг	1978-2026гг
16.02-15.03	6608.4	144.8	-309.2	-22.2	3.0	66.3	16.2	-114.6
		2.2	-4.5	-0.3	0.0	1.0	0.2	-1.7
09-15.03	6753.6	313.3	-162.6	254.5	106.0	247.0	152.7	12.4
		4.9	-2.4	3.9	1.6	3.8	2.3	0.2

Северный Ледовитый океан

Месяц	S, тыс. км2	Аномалии, тыс км2/%						
		2021 г	2022 г	2023 г	2024 г	2025 г	2016-2026гг	1978-2026гг
16.02-15.03	11633.7	-108.6	-75.9	125.0	-26.2	161.7	52.6	-258.5
		-0.9	-0.6	1.1	-0.2	1.4	0.5	-2.2
09-15.03	11588.3	-229.1	-37.1	-73.9	-163.7	42.0	-52.4	-314.7
		-1.9	-0.3	-0.6	-1.4	0.4	-0.5	-2.6

Моря СМП (моря Карское-Чукотское)

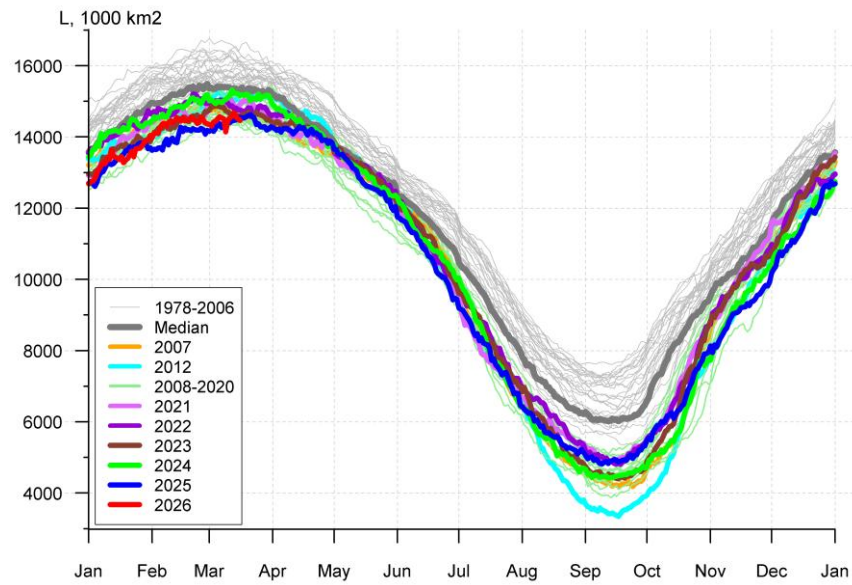
Месяц	S, тыс. км2	Аномалии, тыс км2/%						
		2021 г	2022 г	2023 г	2024 г	2025 г	2016-2026гг	1978-2026гг
16.02-15.03	3023.0	-2.9	2.5	7.2	8.3	-2.3	4.2	1.5
		-0.1	0.1	0.2	0.3	-0.1	0.1	0.0
09-15.03	3025.9	0.0	3.2	1.4	0.1	1.9	2.8	2.5
		0.0	0.1	0.0	0.0	0.1	0.1	0.1

Таблица 2 – Экстремальные и средние значения ледовитости для Северной полярной области, 3 меридиональных секторов и моря СМП за текущий 7-дневный интервал по данным наблюдений [13-17]

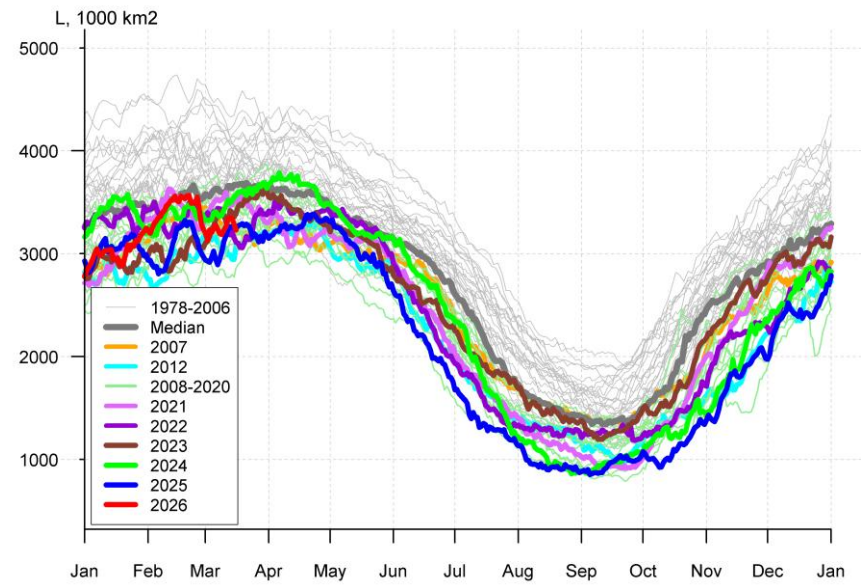
Северная полярная область				
Месяц	Минимальное знач.	Максимальное знач.	Среднее знач.	Медиана
09-15.03	14145.6 09.03.2026	16655.2 09.03.1979	15342.8	15362.0
Сектор 45°W-95°E (Гренландское - Карское моря)				
Месяц	Минимальное знач.	Максимальное знач.	Среднее знач.	Медиана
09-15.03	2769.8 13.03.2016	4460.6 09.03.1979	3619.6	3597.8
Сектор 95°E-170°W (моря Лаптевых - Чукотское, Берингово, Охотское)				
Месяц	Минимальное знач.	Максимальное знач.	Среднее знач.	Медиана
09-15.03	4346.7 14.03.2015	5510.7 11.03.1979	4982.1	4986.2
Сектор 170°W-45°W (море Бофорта и Канадская Арктика)				
Месяц	Минимальное знач.	Максимальное знач.	Среднее знач.	Медиана
09-15.03	6262.9 14.03.2004	7276.3 10.03.1990	6741.1	6757.1
Северный Ледовитый океан				
Месяц	Минимальное знач.	Максимальное знач.	Среднее знач.	Медиана
09-15.03	11175.1 15.03.2016	12595.1 09.03.1979	11903.0	11881.1
Моря СМП (моря Карское-Чукотское)				
Месяц	Минимальное знач.	Максимальное знач.	Среднее знач.	Медиана
09-15.03	2938.5 14.03.2012	3025.9 09.03.1979	3023.4	3025.9

Таблица 3 – Динамика изменения значений ледовитости по сравнению с предыдущей неделей для морей Северной полярной области за 09.03 – 15.03.2026 г. по данным наблюдений SSMR-SSM/I-SMIS [13-17]

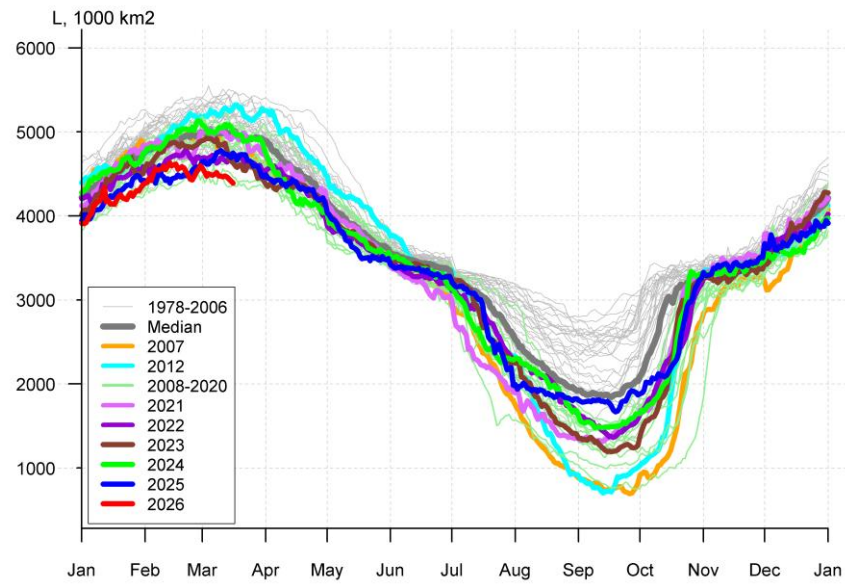
Регион	Северная полярная область	Сектор 45°W-95°E (Гренландское - Карское моря)	Сектор 95°E-170°W (моря Лаптевых - Чукотское, Берингово, Охотское)	Сектор 170°W-45°W (море Бофорта и Канадская Арктика)	Северный Ледовитый океан	Моря СМП (моря Карское-Чукотское)
Разность	26.5	67.9	-38.9	-2.4	63.5	2.4
тыс. кв. км/сут.	3.8	9.7	-5.6	-0.3	9.1	0.3



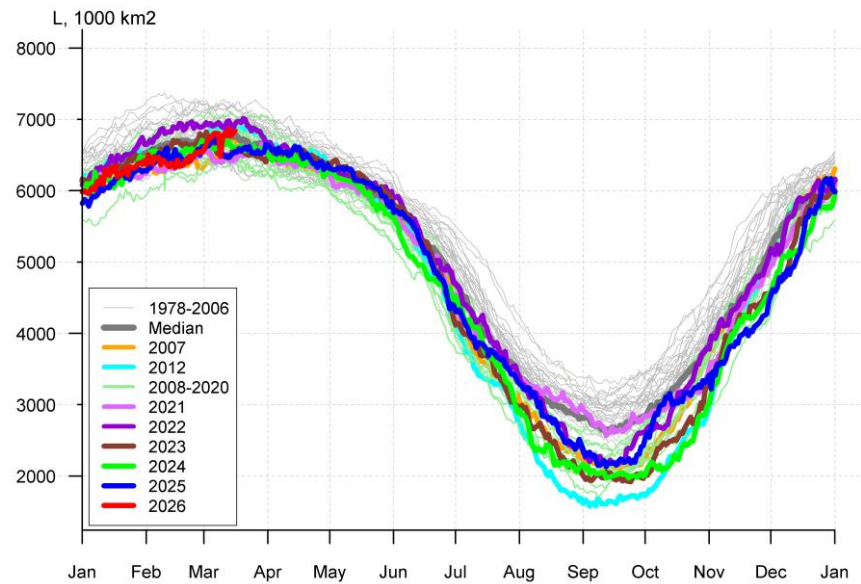
a)



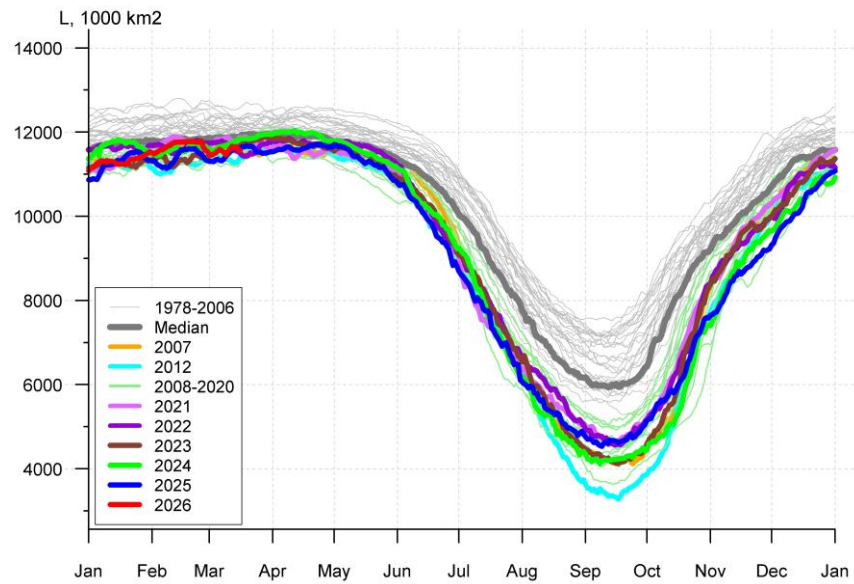
б)



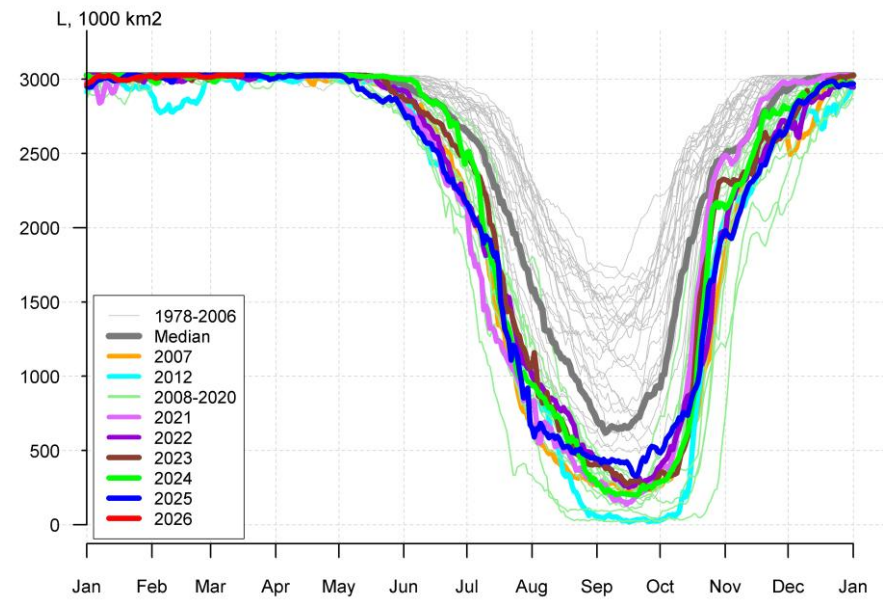
B)



г)



д)



е)

Рисунок 6а – Ежедневные оценки сезонного хода ледовитости для Северной Полярной Области и трех меридиональных секторов, СЛЮ и морей СМП за период 26.10.1978 – последний доступный срок по годам на основе расчетов по данным SSMR-SSM/I-SSMIS, алгоритмы NASATEAM: а) Северная полярная область, б) сектор 45°W-95°E (Гренландское – Карское моря), в) сектор 95°E-170°W (моря Лаптевых – Чукотское и Берингово, Охотское), г) сектор 170°W-45°W (море Бофорта и Канадская Арктика), д) Северный Ледовитый океан, е) Северный морской путь (Карское - Чукотское моря) [13-17].

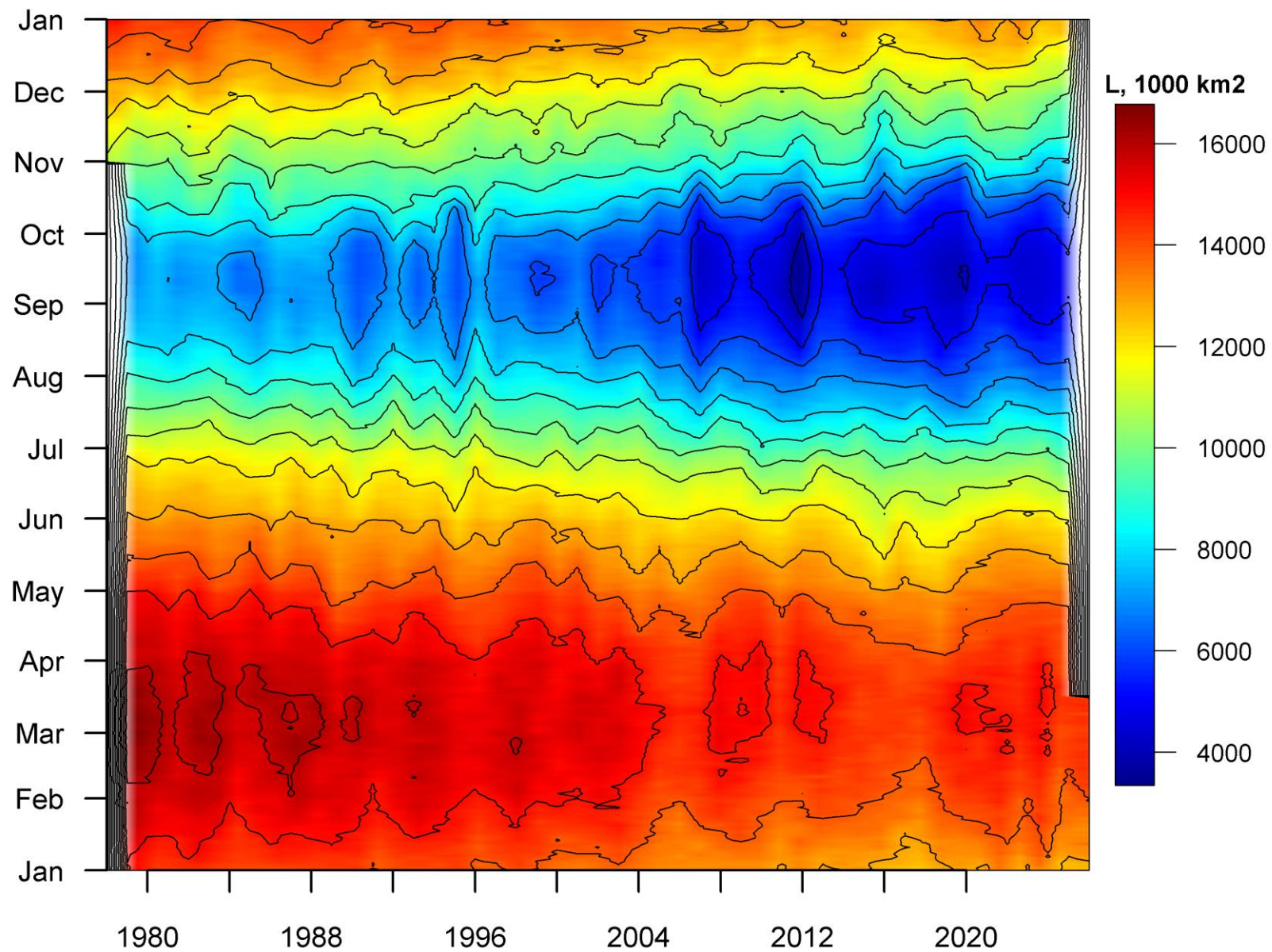


Рисунок 66 – Ежедневные оценки сезонных изменений ледовитости для Северной Полярной Области за период 26.10.1978 – последний доступный срок на основе расчетов по данным SSMR-SSM/I-SSMIS, алгоритм NASATEAM [13-17].

Южный океан

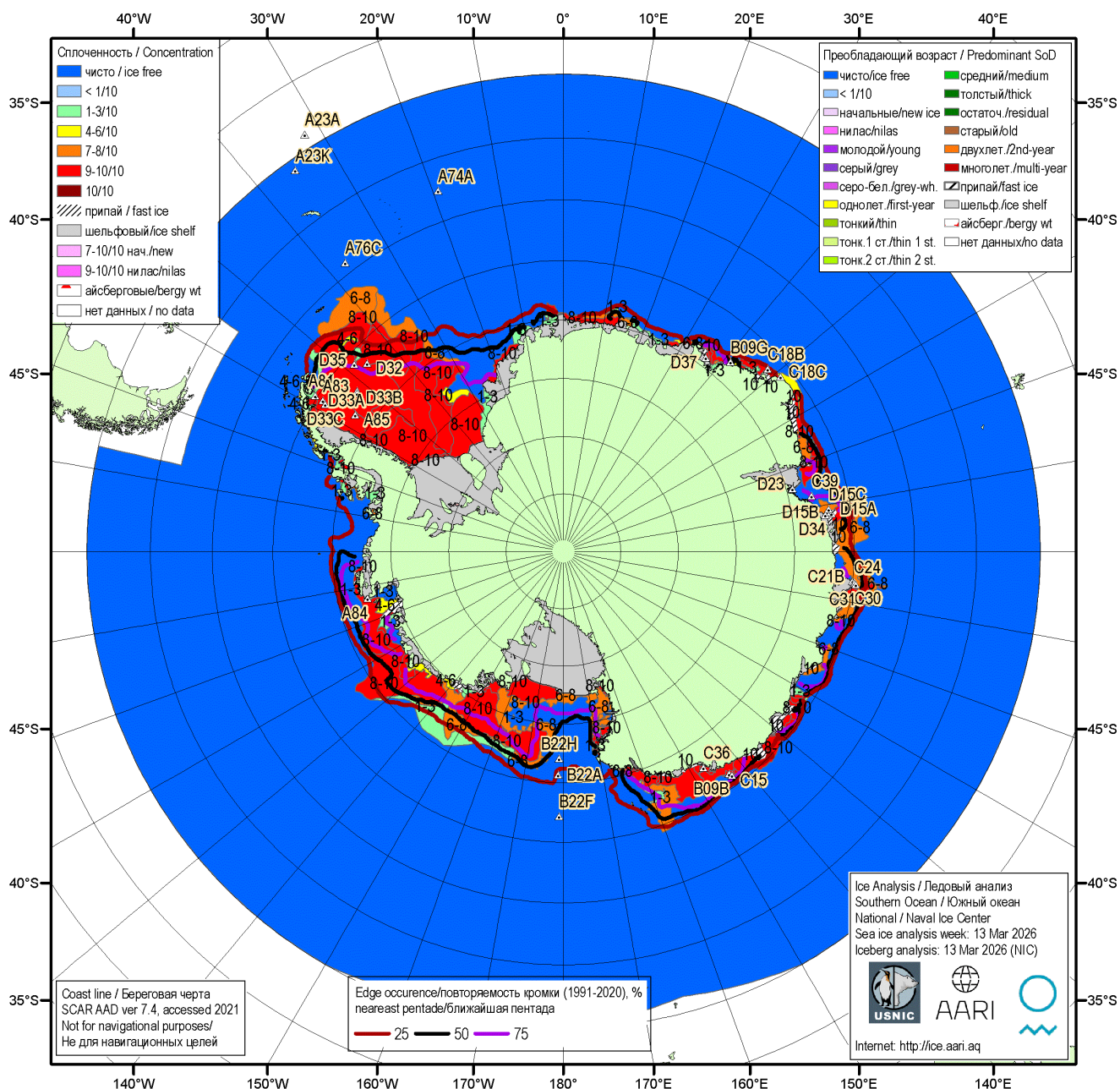


Рисунок 7а – Ледовая карта Южного океана (цветовая окраска по общей сплоченности) и расположение крупных айсбергов на основе ледового анализа за 13.03.2026 в рамках проекта совместного ледового картирования Южного океана ААНИИ, НЛЦ США и НМИ и повторяемость кромки за ближайшую пентаду за период 1991-2020 гг. по наблюдениям SSMR-SSM/I-SSMIS (алгоритм NASATEAM) [5, 10, 17, 21]

h

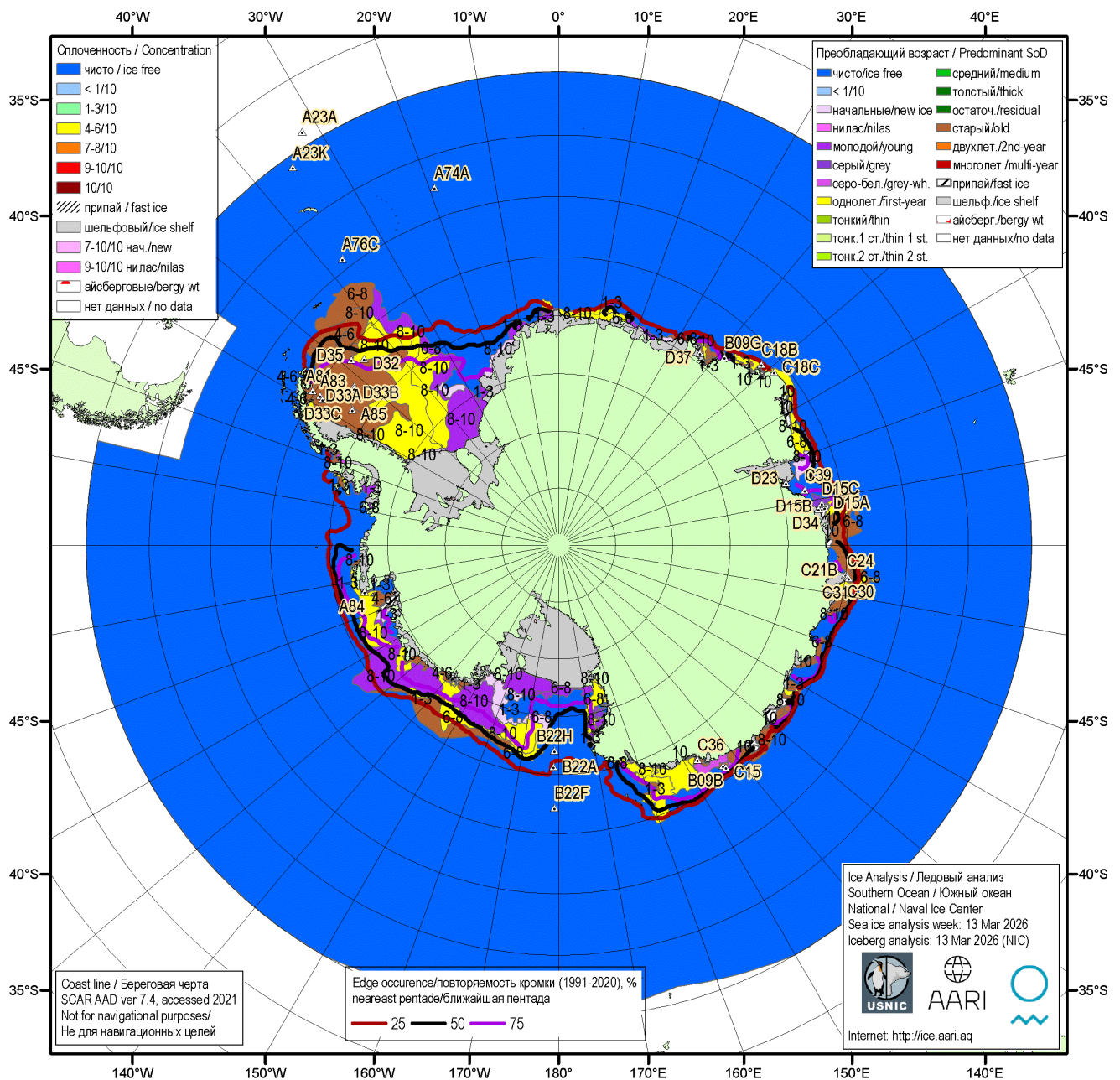


Рисунок 76 – Ледовая карта Южного океана (цветовая окраска по возрасту) и расположение крупных айсбергов на основе ледового анализа за 13.03.2026 в рамках проекта совместного ледового картирования Южного океана ААНИИ, НЛЦ США и НМИ и повторяемость кромки за ближайшую пентаду за период 1991-2020 гг. по наблюдениям SSMR-SSM/I-SSMIS (алгоритм NASATEAM) [5, 10, 17, 21].

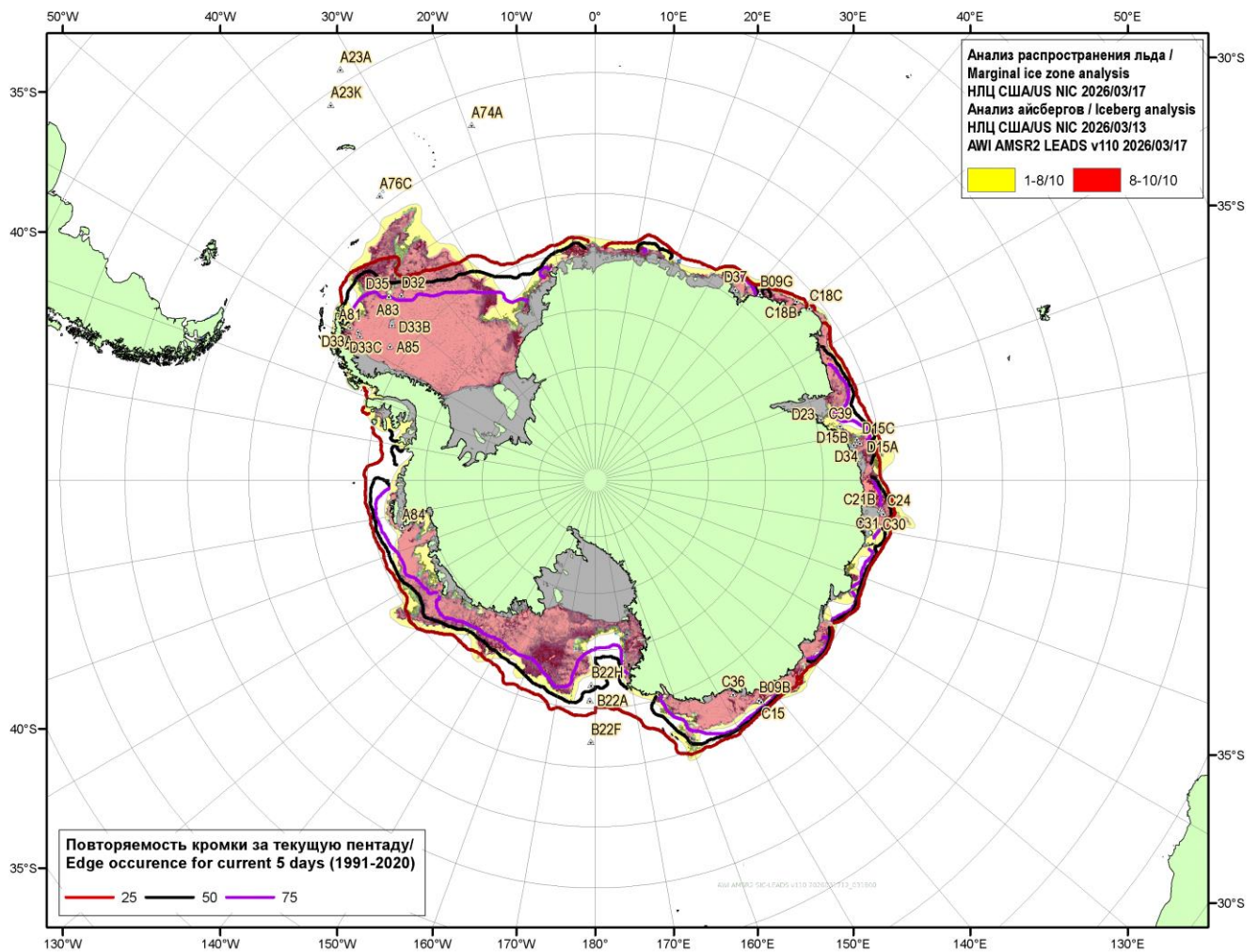
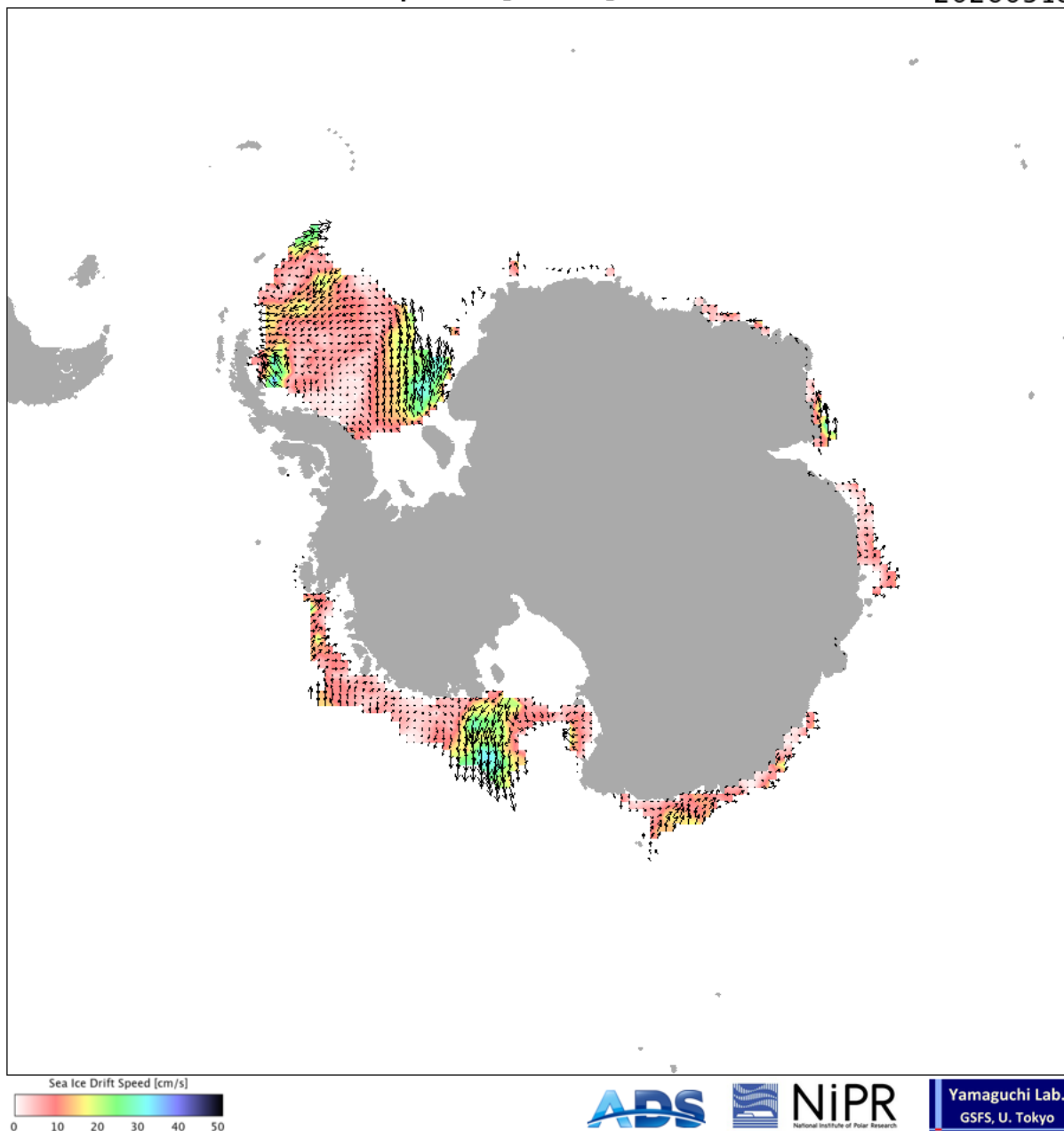


Рисунок 7в – Положение кромки льда и зон разреженных ($<8/10$) и сплоченных ($\geq 8/10$) льдов Южного океана за 17.03.2026 г. и расположение крупных айсбергов за 13.03.2026 на основе ледового анализа Национального Ледового Центра США, повторяемость кромки за ближайшую пентаду за период 1991-2020 гг. по наблюдениям SSMR-SSM/I-SSMIS (алгоритм NASATEAM), совмещенное с положением разрежений на основе данных ИСЗ AMSR2 за 17.03.2026 (AWI, v110) [10, 17, 24]



NiPR
National Institute of Polar Research

Yamaguchi Lab.
GSFS, U. Tokyo

Рисунок 7г – Поле дрейфа морского льда Южного океана за последний доступный срок по данным AMSR2, источник JAXA [29]

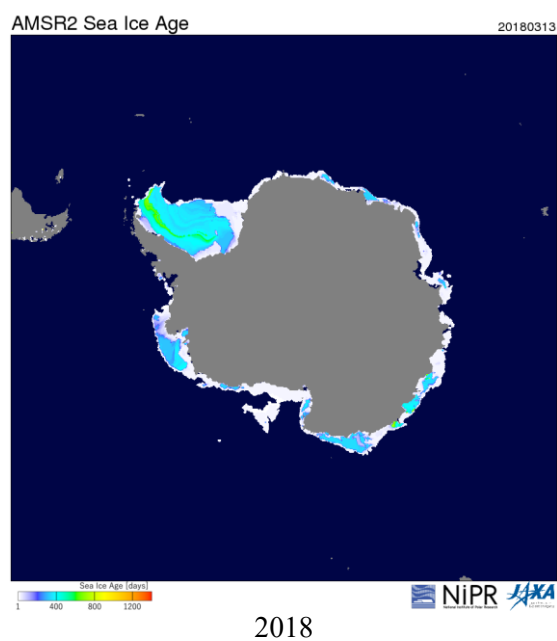
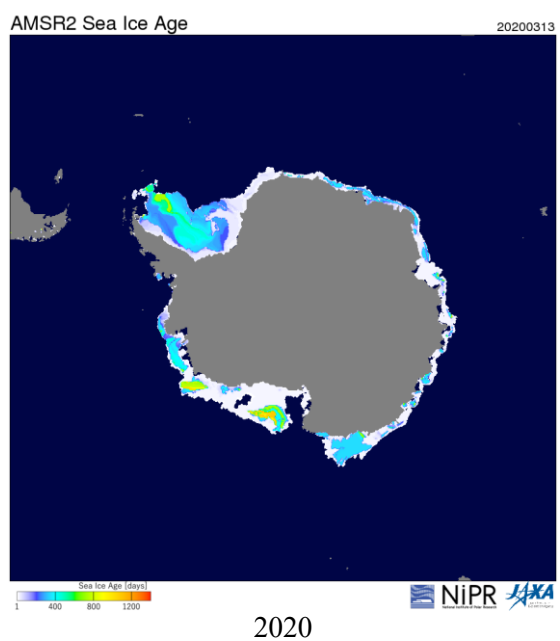
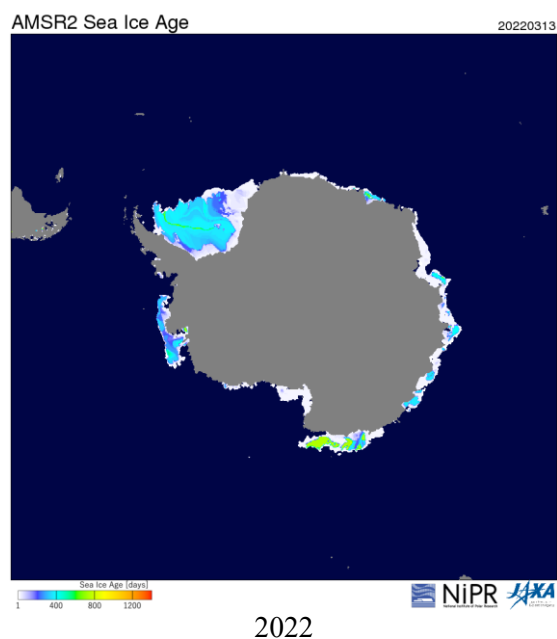
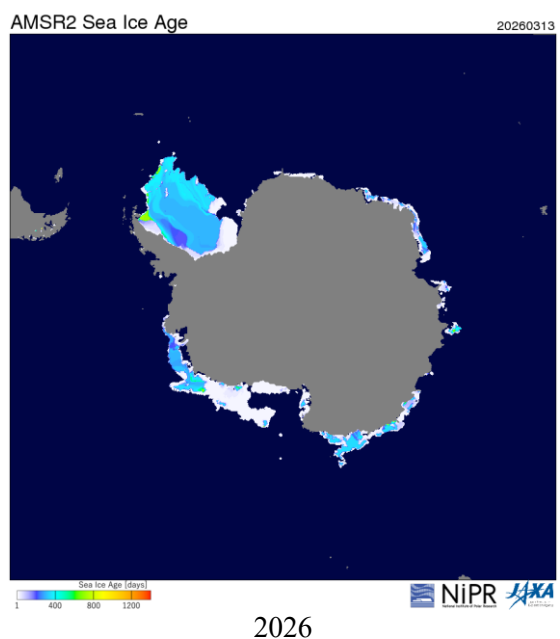


Рисунок 8 – Оценка возраста льда (сутки) на 13.03 за 2018 – 2026 гг. по данным JAXA-NiPR [29]

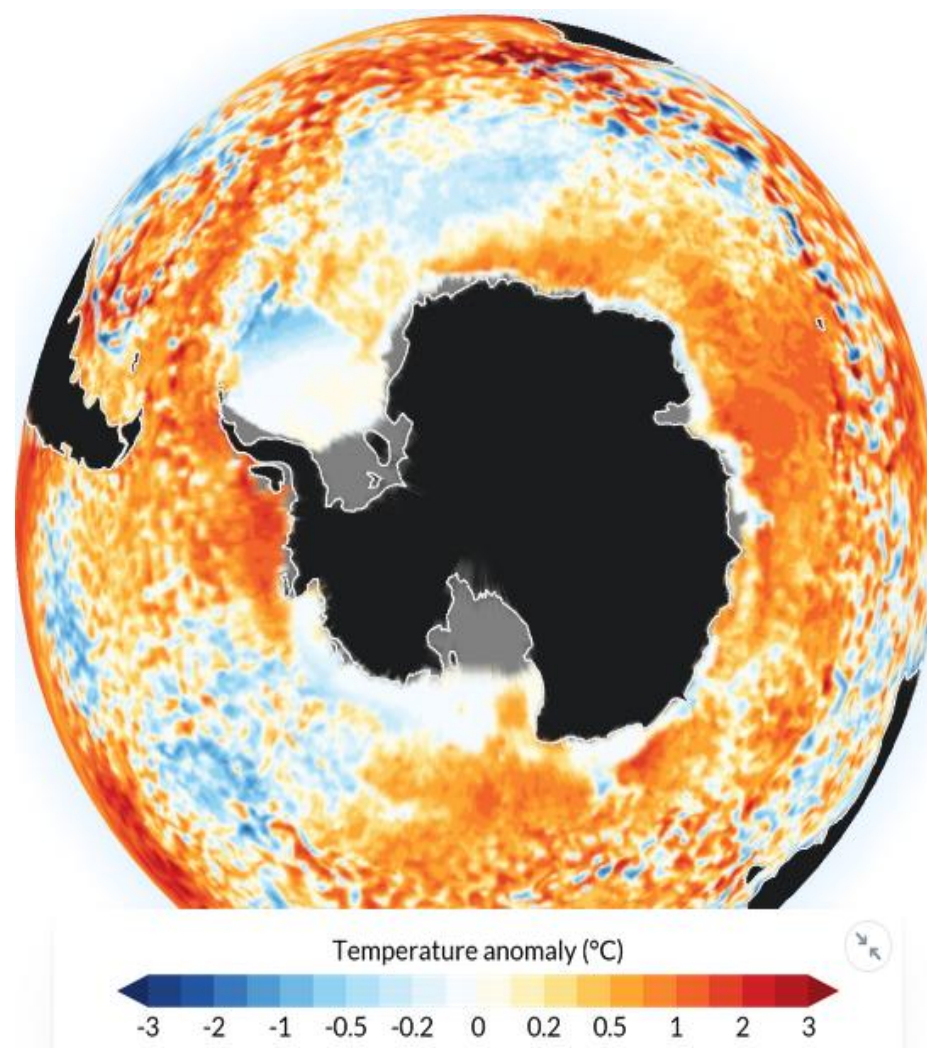
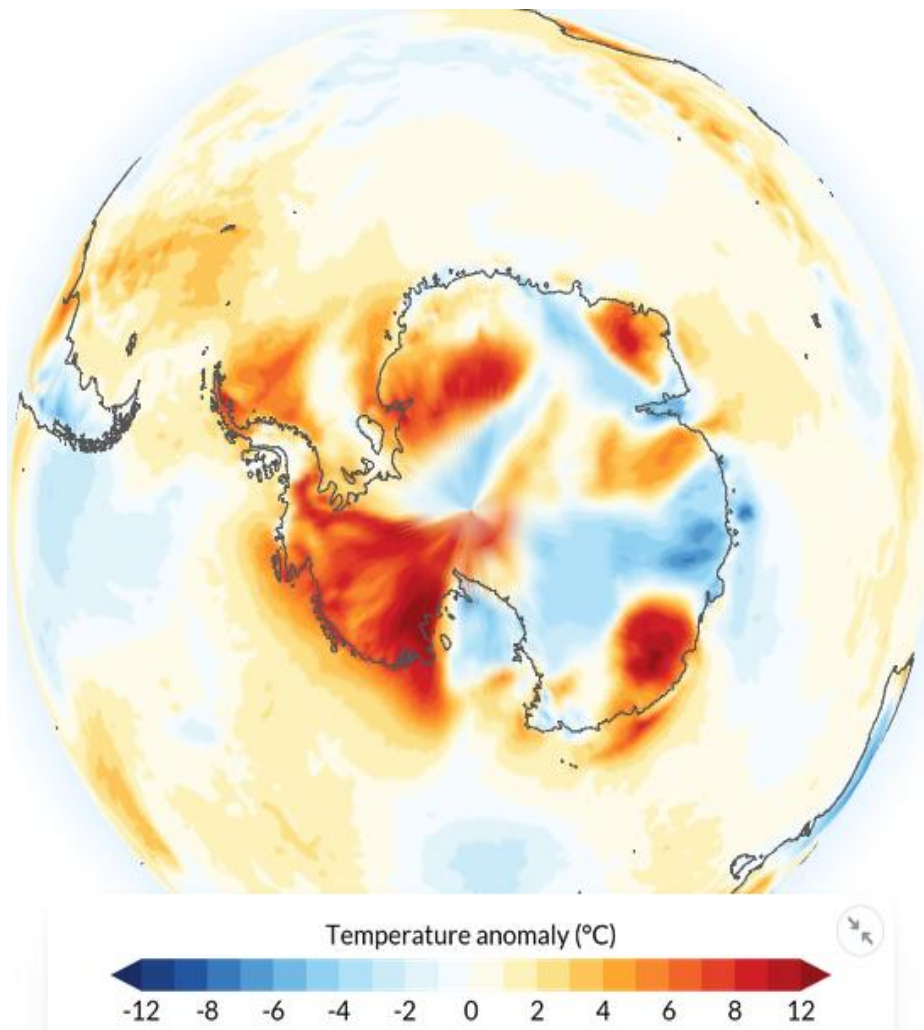
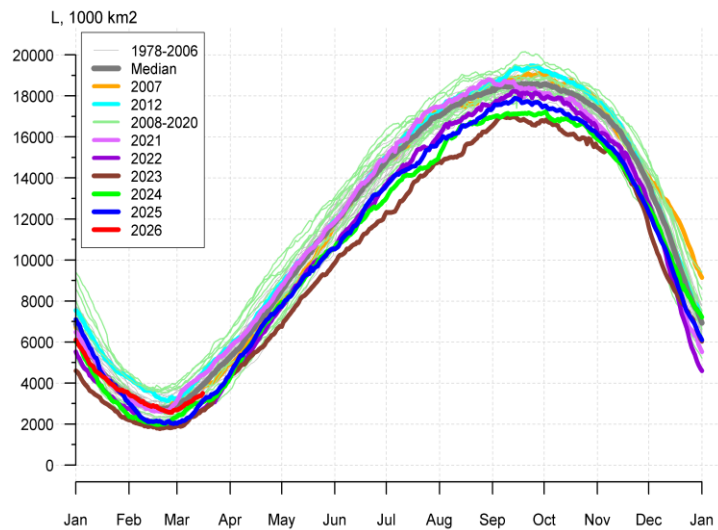


Рисунок 9 – Аномалия приземной температуры воздуха (2м) на 16.03.2026 г. относительно периода 1991-2020 гг. - The [Copernicus Climate Change Service \(C3S\)](#), implemented by the [European Centre for Medium-Range Weather Forecasts \(ECMWF\)](#) on behalf of the European Commission is part of the European Union's space programme.

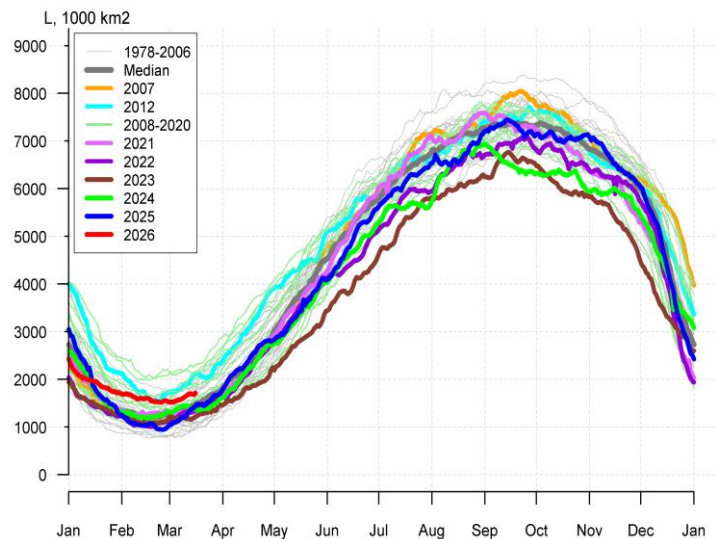
Таблица 4 – Линейные размеры и площадь крупных айсбергов Южного океана на основе анализа НЛЦ США за 06.02.2026 [11]

Имя	Длина км	Ширина км	Площадь кв.км	Имя	Длина км	Ширина км	Площадь кв.км
D15A	D15A	94.5	40.7	A83	22.2	13.0	189.8
B22A	B22A	53.7	46.3	A23K	20.4	14.8	172.6
A81	A81	51.9	46.3	D34	20.4	14.8	168.4
A23A	C36	42.6	29.6	B09G	22.2	13.0	160.9
C36	D15B	59.3	22.2	D23	13.0	11.1	123.3
D15B	D33A	63.0	18.5	C18B	18.5	7.4	111.2
D33A	A23A	48.2	40.7	B22H	16.7	13.0	105.6
B09B	B09B	50.0	18.5	D32	16.7	11.1	103.7
D37	D37	55.6	13.0	B22I	16.7	9.3	83.8
A74A	D35	51.9	11.1	B22G	16.7	9.3	77.3
D35	A76C	29.6	13.0	C30	16.7	5.6	76.3
A76C	B22F	25.9	14.8	C39	27.8	14.8	76.0
B22F	A74A	42.6	24.1	B15AB	18.5	7.4	72.5
D33B	D33B	38.9	22.2	C31	16.7	5.6	72.1
C21B	C21B	22.2	14.8	A85	18.5	5.6	62.6
D33C	D33C	27.8	13.0	C24	20.4	5.6	62.3
C15	C15	25.9	18.5	C18C	18.5	3.7	62.2
A84	A84	22.2	11.1	B22J	20.4	7.4	53.4

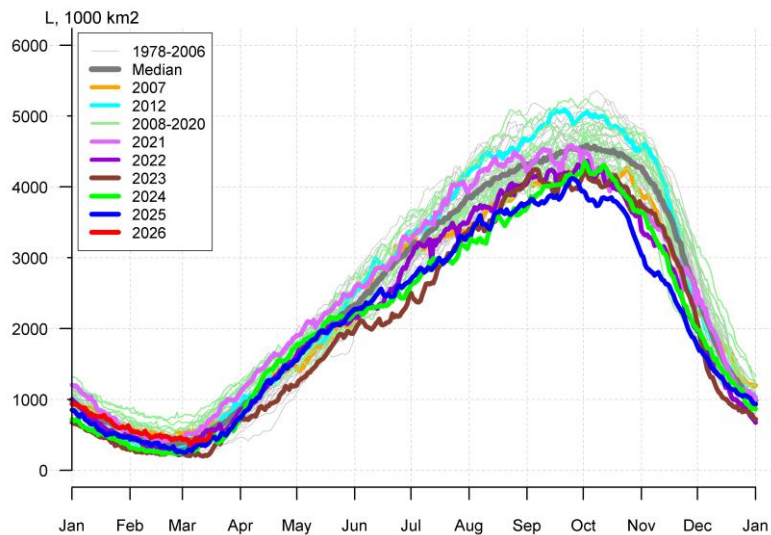
Суммарная площадь == **14264 кв. км** (26.12.2025 - 14988, 21.11.2025 – 16405, 28.08.2025 – 17450, 18.07.2025 – 18106, 05.06.2025 – 18240, 02.05.2025 – 18445, 27.03.2025 – 18830, 21.02.2025 – 19222, 23.01.2025 – 18636 кв. км)



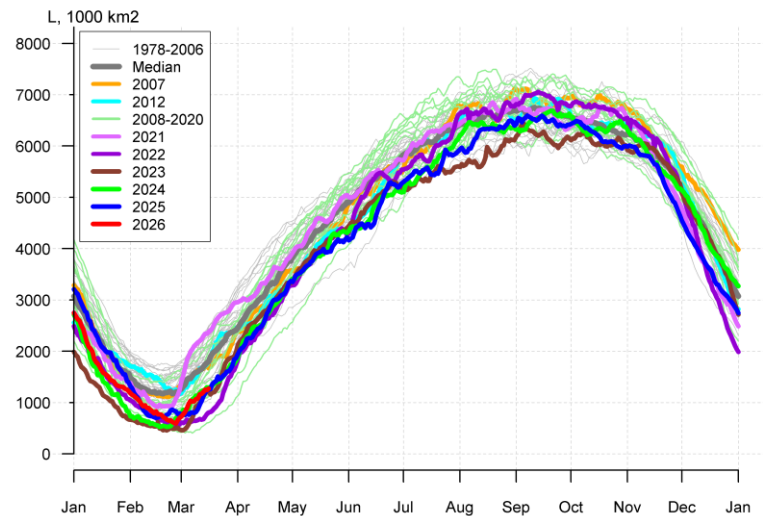
а)



б)



в)



г)

Рисунок 10а – Ежедневные оценки сезонного хода ледовитости Южного Океана и меридиональных секторов за период 26.10.1978 – последний доступный срок по годам на основе расчетов по данным SSMR-SSM/I-SSMIS, алгоритм NASATEAM: а) Южный Океан, б) Атлантический сектор (60°W-30°E, море Уэдделла), в) Индоокеанский сектор (30°E-150°E, моря Космонавтов, Содружества, Моусона), г) Тихоокеанский сектор (150°E-60°W, моря Росса, Беллинсгаузена) [13-17]

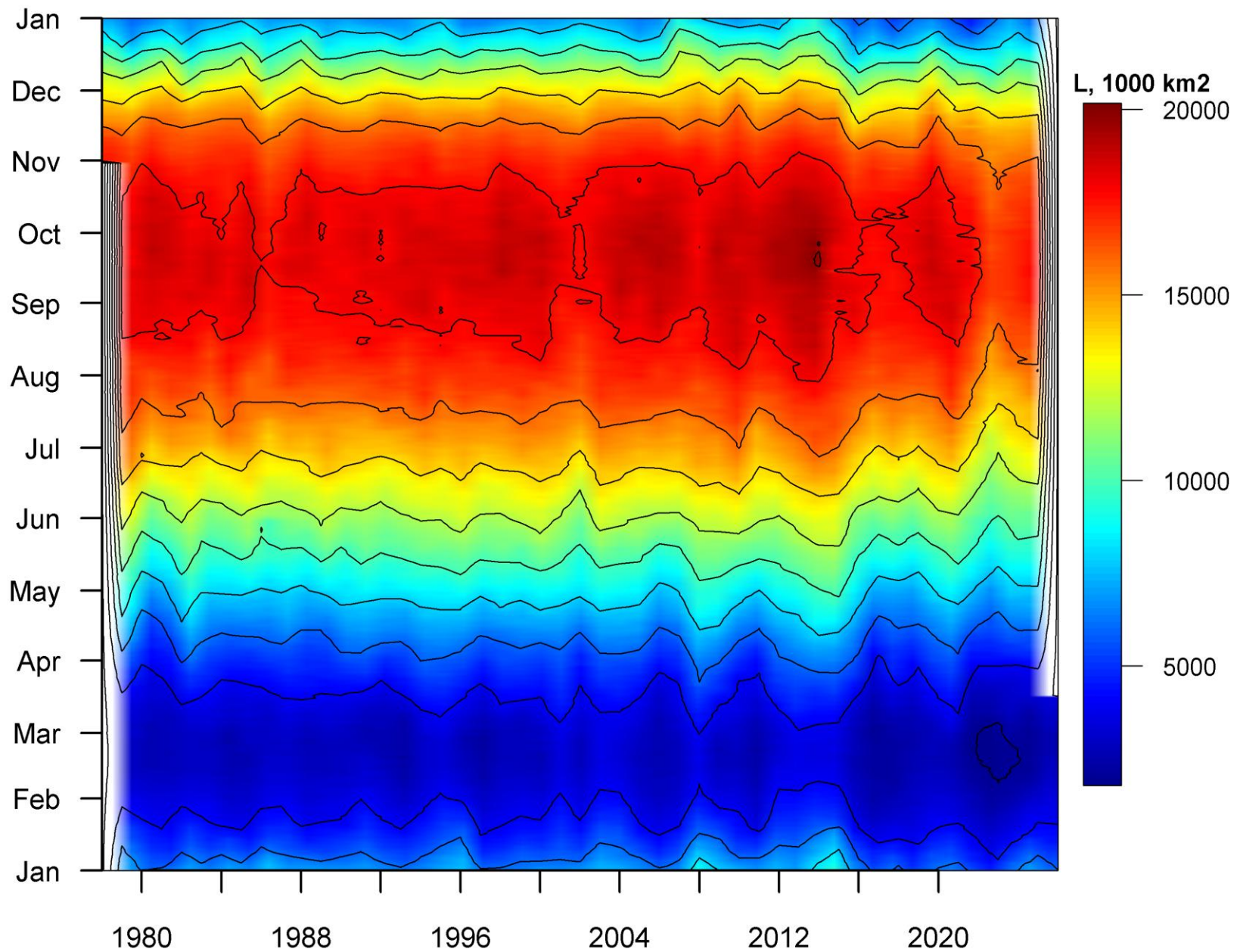


Рисунок 106 – Ежедневные оценки сезонных изменений ледовитости для Южного океана за период 26.10.1978 – последний доступный срок на основе расчетов по данным SSMR-SSM/I-SSMIS, алгоритм NASATEAM [13-17].

Таблица 5 – Медианные и экстремальные значения ледовитости для Южного океана и 3 меридиональных секторов за текущие 30 и 7-дневные интервалы и её аномалии от 2020-2024 гг. и интервалов 2015-2025 гг. и 1978-2025 гг. по данным наблюдений SSMR-SSM/I [13-17]

Южный Океан								
Месяц	S, тыс. км2	Аномалии, тыс км2/%						
		2021 г	2022 г	2023 г	2024 г	2025 г	2016-2026гг	1978-2026гг
16.02-15.03	2888.8	-447.2	741.7	851.4	440.7	618.1	300.8	-202.1
		-13.4	34.5	41.8	18.0	27.2	11.6	-6.5
09-15.03	3268.0	-899.3	768.0	804.5	276.3	564.2	218.6	-305.5
		-21.6	30.7	32.7	9.2	20.9	7.2	-8.5
Атлантический сектор (60°W-30°E, море Уэдделла)								
Месяц	S, тыс. км2	Аномалии, тыс км2/%						
		2021 г	2022 г	2023 г	2024 г	2025 г	2016-2026гг	1978-2026гг
16.02-15.03	1576.8	281.4	415.3	431.6	254.6	467.4	278.3	234.4
		21.7	35.8	37.7	19.3	42.1	21.4	17.5
09-15.03	1667.8	364.8	353.7	489.2	249.5	360.9	265.4	213.2
		28.0	26.9	41.5	17.6	27.6	18.9	14.7
Индоокеанский сектор (30°E-150°E, моря Космонавтов, Содружества, Моусона)								
Месяц	S, тыс. км2	Аномалии, тыс км2/%						
		2021 г	2022 г	2023 г	2024 г	2025 г	2016-2026гг	1978-2026гг
16.02-15.03	443.8	-59.8	91.3	215.2	158.3	125.1	37.7	8.2
		-11.9	25.9	94.1	55.5	39.3	9.3	1.9
09-15.03	432.8	-187.5	-64.4	216.9	70.0	64.0	-52.6	-82.0
		-30.2	-13.0	100.5	19.3	17.3	-10.8	-15.9
Тихоокеанский сектор (150°E-60°W, моря Росса, Беллингаузена)								
Месяц	S, тыс. км2	Аномалии, тыс км2/%						
		2021 г	2022 г	2023 г	2024 г	2025 г	2016-2026гг	1978-2026гг
16.02-15.03	868.2	-668.7	235.1	204.7	27.8	25.6	-15.2	-444.7
		-43.5	37.1	30.8	3.3	3.0	-1.7	-33.9
09-15.03	1167.5	-1076.5	478.8	98.4	-43.2	139.4	5.9	-436.7
		-48.0	69.5	9.2	-3.6	13.6	0.5	-27.2
Южный Океан								
Месяц	Минимальное знач.	Максимальное знач.	Среднее знач.	Медиана				
09-15.03	2324.4 09.03.2017	5056.8 15.03.2008	3573.5	3561.6				
Атлантический сектор (60°W-30°E, море Уэдделла)								
Месяц	Минимальное знач.	Максимальное знач.	Среднее знач.	Медиана				
09-15.03	812.8 09.03.1981	2301.7 13.03.2015	1454.6	1408.1				
Индоокеанский сектор (30°E-150°E, моря Космонавтов, Содружества, Моусона)								
Месяц	Минимальное знач.	Максимальное знач.	Среднее знач.	Медиана				
09-15.03	198.5 12.03.2023	906.9 14.03.2008	514.8	498.2				
Тихоокеанский сектор (150°E-60°W, моря Росса, Беллингаузена)								
Месяц	Минимальное знач.	Максимальное знач.	Среднее знач.	Медиана				
09-15.03	460.0 09.03.2017	2429.2 15.03.1988	1604.2	1672.5				

Таблица 6 – Динамика изменения значений ледовитости по сравнению с предыдущей неделей для морей Южного океана за 09.03 – 15.03.2026 по данным наблюдений SSMR-SSM/I-SSMIS [13-17]

Регион	Южный Океан	Атлантический сектор	Индоокеанский сектор	Тихоокеанский сектор
Разность	362.1	114.5	14.3	233.2
тыс.кв.км/сут.	51.7	16.4	2.0	33.3

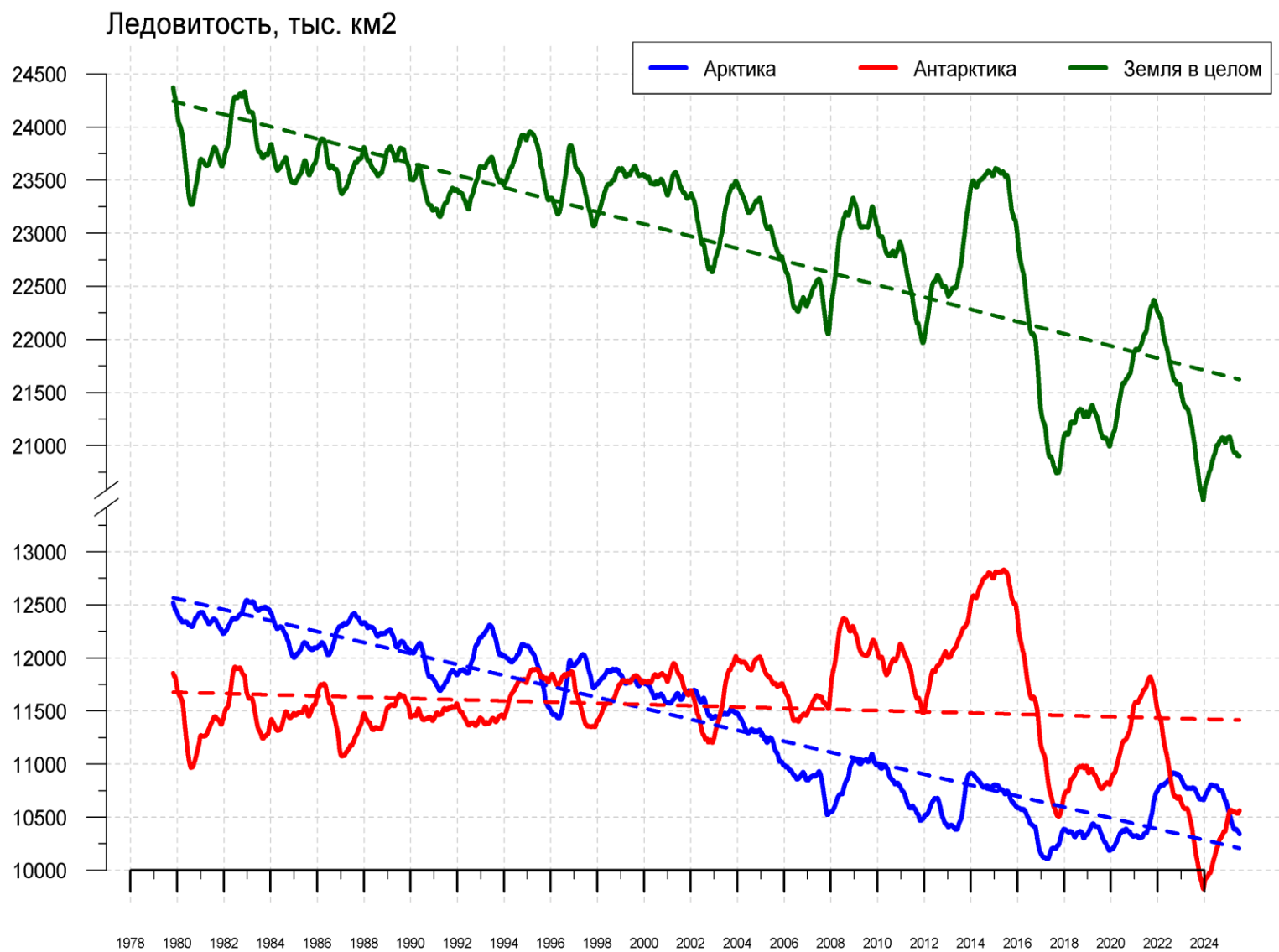


Рисунок 11а – Ежедневные сглаженные окном 365 суток значения ледовитости (площади распространения морского льда) Арктики, Антарктики и Земли в целом с 26.10.1978 по последний доступный срок на основе SSMR-SSM/I-SSMIS [13-17]

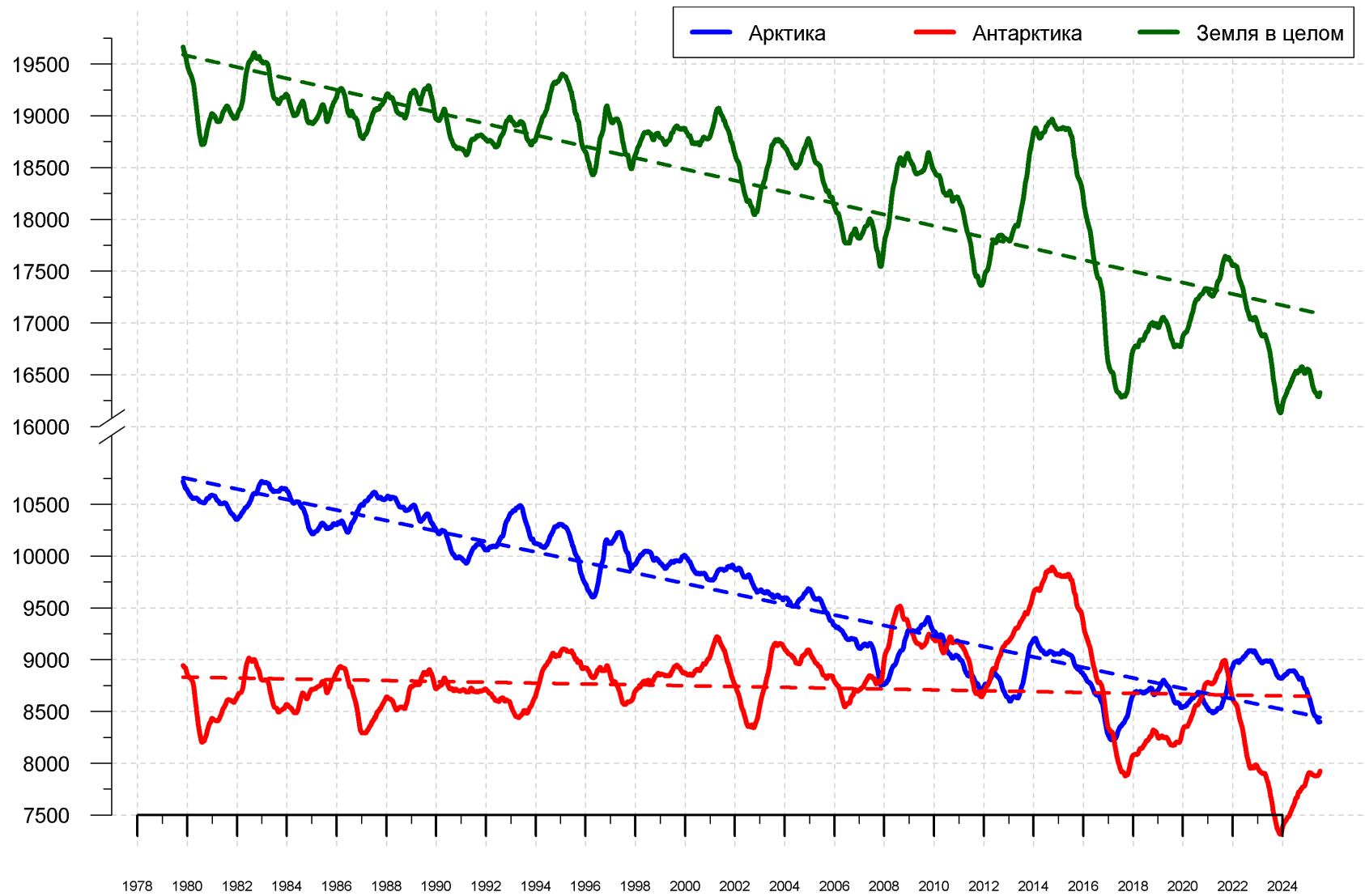


Рисунок 116 – Ежедневные сглаженные окном 365 суток значения приведенной ледовитости (площади морского льда) Арктики, Антарктики и Земли в целом с 25.10.1978 по последний доступный срок на основе SSMR-SSM/I-SSMIS [13-17]

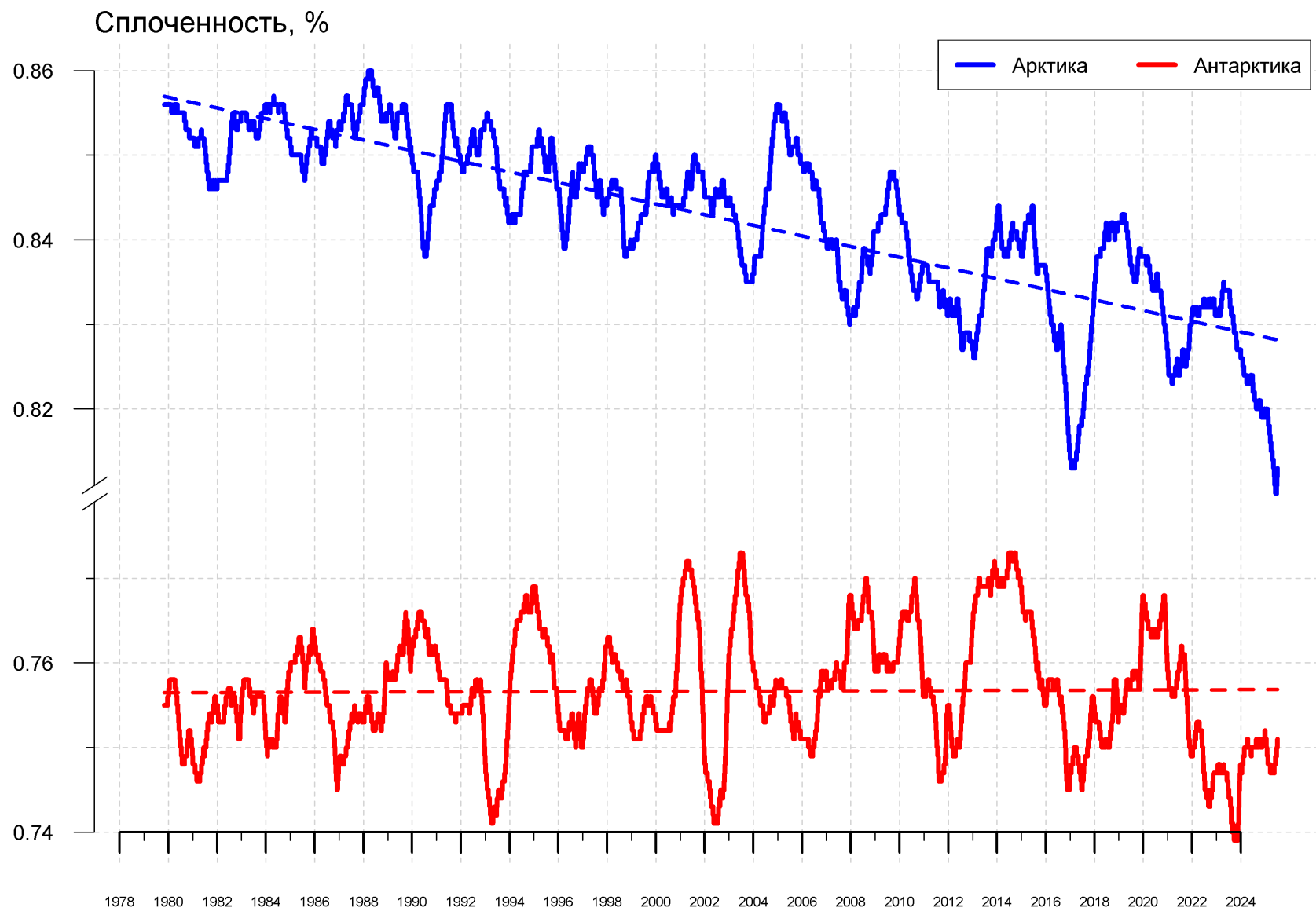


Рисунок 11в – Ежедневные сглаженные окном 365 суток значения средней общей сплоченности Арктики и Антарктики с 07.11.1978 по последний доступный срок на основе SSMR-SSM/I-SSMIS [13-17]

Приложение 1 – Статистические значения ледовитостей по отдельным акваториям Северной Полярной Области и Южного океана

Таблица 8 – Средние, аномалии среднего и экстремальные значения ледовитостей для Северной и Южной полярных областей и её отдельных акваторий за текущие 7-дневный (неделя) и 30-дневный промежутки времени по данным наблюдений SSMR-SSM/I-SSMIS, алгоритм NASATEAM за период 1978-2024 гг.

09-15.03

Регион	S, тыс. км2	Аномалии, тыс км2/%							1978-2026гг			
		2007 г	2012 г	2023 г	2024 г	2025 г	2016-2026гг	1978-2026гг	Минимум дата	Максимум дата	Среднее	Медиана
Сев. полярная область	14498.8	-271.9	-617.7	-157.4	-691.5	62.0	-202.4	-844.0	14145.6	16655.2	15342.8	15362.0
		-1.8	-4.1	-1.1	-4.6	0.4	-1.4	-5.5	09.03.2026	09.03.1979		
Сектор 45°W-95°E	3286.3	45.7	280.9	-84.3	-192.5	94.7	-13.4	-333.2	2769.8	4460.6	3619.6	3597.8
		1.4	9.3	-2.5	-5.5	3.0	-0.4	-9.2	13.03.2016	09.03.1979		
Гренландское море	671.9	5.5	-4.8	-143.4	-104.7	-63.0	-15.8	-113.9	567.1	1049.2	785.8	760.6
		0.8	-0.7	-17.6	-13.5	-8.6	-2.3	-14.5	11.03.2018	12.03.1988		
Баренцево море	596.5	62.0	202.0	106.0	-20.7	129.6	13.7	-126.5	266.0	1167.3	723.0	730.6
		11.6	51.2	21.6	-3.3	27.8	2.4	-17.5	15.03.2016	15.03.1979		
Карское море	839.2	5.7	54.1	1.4	0.1	1.9	2.8	2.5	751.8	839.2	836.7	839.2
		0.7	6.9	0.2	0.0	0.2	0.3	0.3	14.03.2012	09.03.1979		
Сектор 95°E-170°W	4458.9	-367.4	-787.9	-327.5	-604.9	-279.7	-341.6	-523.2	4346.7	5510.7	4982.1	4986.2
		-7.6	-15.0	-6.8	-11.9	-5.9	-7.1	-10.5	14.03.2015	11.03.1979		
Море Лаптевых	674.3	0.0	0.0	0.0	0.0	0.0	0.0	0.0	674.3	674.3	674.3	674.3
		0.0	0.0	0.0	0.0	0.0	0.0	0.0	09.03.1979	09.03.1979		
Восточно-Сибирское море	915.1	0.0	0.0	0.0	0.0	0.0	0.0	0.0	914.5	915.1	915.1	915.1
		0.0	0.0	0.0	0.0	0.0	0.0	0.0	13.03.1993	09.03.1979		
Чукотское море	597.3	0.0	0.0	0.0	0.0	0.0	0.0	0.0	596.7	597.3	597.3	597.3
		0.0	0.0	0.0	0.0	0.0	0.0	0.0	11.03.1989	09.03.1979		
Берингово море	849.7	45.2	-207.6	221.9	158.4	237.9	241.9	121.6	221.4	1094.7	728.0	726.8
		5.6	-19.6	35.3	22.9	38.9	39.8	16.7	09.03.2019	13.03.2012		
Сектор 170°W-45°W	6753.6	49.9	-110.6	254.5	106.0	247.0	152.7	12.4	6262.9	7276.3	6741.1	6757.1
		0.7	-1.6	3.9	1.6	3.8	2.3	0.2	14.03.2004	10.03.1990		
Море Бофорта	486.6	0.0	0.0	0.0	0.0	0.0	0.0	0.0	486.6	486.6	486.6	486.6
		0.0	0.0	0.0	0.0	0.0	0.0	0.0	09.03.1979	09.03.1979		
Гудзонов залив	827.5	-11.5	-11.5	-9.2	-9.7	-9.7	-8.5	-10.8	769.0	839.0	838.2	839.0
		-1.4	-1.4	-1.1	-1.2	-1.2	-1.0	-1.3	09.03.2026	09.03.1979		
Море Лабрадор	248.5	-5.4	-95.7	61.6	11.6	1.1	-11.0	-57.9	135.5	499.8	306.4	323.7
		-2.1	-27.8	32.9	4.9	0.5	-4.2	-18.9	11.03.2010	11.03.1984		
Дейвисов пролив	410.9	-2.8	-228.5	-14.6	-73.7	-32.1	-55.0	-91.9	285.3	715.8	502.8	484.3
		-0.7	-35.7	-3.4	-15.2	-7.2	-11.8	-18.3	15.03.2005	15.03.1993		
Канадский архипелаг	1190.1	0.0	0.0	0.1	0.0	0.0	0.1	0.0	1183.1	1190.1	1190.1	1190.1
		0.0	0.0	0.0	0.0	0.0	0.0	0.0	13.03.2019	09.03.1979		

16.02-15.03

Регион	S, тыс. км2	Аномалии, тыс км2/%							1978-2026гг			
		2007 г	2012 г	2023 г	2024 г	2025 г	2016-2026гг	1978-2026гг	Минимум дата	Максимум дата	Среднее	Медиана
Сев. полярная область	14472.4	-264.0	-464.5	-198.9	-580.7	193.6	-148.6	-826.1	13891.6	16769.3	15298.5	15344.2
		-1.8	-3.1	-1.4	-3.9	1.4	-1.0	-5.4	16.02.2018	01.03.1979		
Сектор 45°W-95°E	3357.3	7.3	315.2	164.2	-49.1	233.1	118.3	-255.2	2679.9	4701.2	3612.5	3578.5
		0.2	10.4	5.1	-1.4	7.5	3.7	-7.1	23.02.2016	25.02.1979		
Гренландское море	747.7	56.4	39.4	-22.1	-46.8	39.1	70.8	-36.2	472.3	1116.6	783.9	756.1
		8.2	5.6	-2.9	-5.9	5.5	10.5	-4.6	25.02.2018	27.02.1979		
Баренцево море	553.9	-49.3	154.0	133.1	7.1	123.3	10.2	-160.7	246.2	1191.9	714.6	711.2
		-8.2	38.5	31.6	1.3	28.7	1.9	-22.5	23.02.2016	01.03.1979		
Карское море	836.3	-1.3	80.3	7.2	8.3	-2.4	3.9	1.4	651.1	839.2	834.9	839.2
		-0.2	10.6	0.9	1.0	-0.3	0.5	0.2	22.02.2012	16.02.1979		
Сектор 95°E-170°W	4506.7	-399.3	-679.1	-340.9	-534.5	-105.8	-283.2	-456.3	4346.7	5550.2	4963.0	4954.7
		-8.1	-13.1	-7.0	-10.6	-2.3	-5.9	-9.2	14.03.2015	04.03.2001		
Море Лаптевых	674.3	0.0	0.0	0.0	0.0	0.0	0.0	0.0	673.6	674.3	674.3	674.3
		0.0	0.0	0.0	0.0	0.0	0.0	0.0	17.02.1995	16.02.1979		
Восточно-Сибирское море	915.1	0.0	0.0	0.0	0.0	0.0	0.0	0.0	914.5	915.1	915.1	915.1
		0.0	0.0	0.0	0.0	0.0	0.0	0.0	20.02.1989	16.02.1979		
Чукотское море	597.3	0.0	0.0	0.0	0.0	0.0	0.4	0.1	574.1	597.3	597.2	597.3
		0.0	0.0	0.0	0.0	0.0	0.1	0.0	21.02.2018	16.02.1979		
Берингово море	721.2	28.3	-274.7	80.3	57.5	148.3	131.3	8.7	144.5	1094.7	712.5	705.3
		4.1	-27.6	12.5	8.7	25.9	22.3	1.2	05.03.2019	13.03.2012		
Сектор 170°W-45°W	6608.4	128.0	-100.6	-22.2	3.0	66.3	16.2	-114.6	6118.3	7289.4	6723.0	6707.6
		2.0	-1.5	-0.3	0.0	1.0	0.2	-1.7	24.02.2011	25.02.1984		
Море Бофорта	486.6	0.0	0.0	0.0	0.0	0.0	0.0	0.0	486.6	486.6	486.6	486.6
		0.0	0.0	0.0	0.0	0.0	0.0	0.0	16.02.1979	16.02.1979		
Гудзонов залив	834.8	-4.2	-4.2	-1.9	-2.4	-2.3	-1.9	-3.7	769.0	839.0	838.4	839.0
		-0.5	-0.5	-0.2	-0.3	-0.3	-0.2	-0.4	09.03.2026	16.02.1979		
Море Лабрадор	183.9	-25.6	-124.8	-80.4	-44.5	-29.7	-78.9	-122.4	80.5	526.8	306.3	318.4
		-12.2	-40.4	-30.4	-19.5	-13.9	-30.0	-40.0	20.02.2010	24.02.1983		
Дейвисов пролив	380.0	-8.4	-166.6	-73.3	-91.9	-86.5	-82.5	-110.5	285.3	715.8	490.5	473.6
		-2.2	-30.5	-16.2	-19.5	-18.5	-17.8	-22.5	15.03.2005	15.03.1993		
Канадский архипелаг	1190.1	0.0	0.0	0.0	0.0	0.0	0.1	0.0	1181.4	1190.1	1190.1	1190.1
		0.0	0.0	0.0	0.0	0.0	0.0	0.0	18.02.2018	16.02.1979		

09-15.03

Регион	S, тыс. км2	Аномалии, тыс км2/%							1978-2026гг			
		2007 г	2012 г	2023 г	2024 г	2025 г	2016-2026гг	1978-2026гг	Минимум дата	Максимум дата	Среднее	Медиана
Южный Океан	3268.0	-379.6	-836.7	804.5	276.3	564.2	218.6	-305.5	2324.4	5056.8	3573.5	3561.6
		-10.4	-20.4	32.7	9.2	20.9	7.2	-8.5	09.03.2017	15.03.2008		
Атлантический сектор	1667.8	269.7	-290.6	489.2	249.5	360.9	265.4	213.2	812.8	2301.7	1454.6	1408.1
		19.3	-14.8	41.5	17.6	27.6	18.9	14.7	09.03.1981	13.03.2015		
Западная часть моря Уэдделла	1645.7	418.1	163.8	612.9	397.8	389.6	411.5	412.0	788.5	1797.0	1233.7	1221.0
		34.1	11.1	59.3	31.9	31.0	33.3	33.4	09.03.1999	13.03.2015		
Восточная часть моря Уэдделла	22.1	-148.5	-454.4	-123.7	-148.2	-28.7	-146.1	-198.8	1.2	661.1	220.9	209.0
		-87.1	-95.4	-84.9	-87.0	-56.5	-86.9	-90.0	12.03.1989	15.03.2009		
Индоокеанский сектор	432.8	-165.2	-69.8	216.9	70.0	64.0	-52.6	-82.0	198.5	906.9	514.8	498.2
		-27.6	-13.9	100.5	19.3	17.3	-10.8	-15.9	12.03.2023	14.03.2008		
Море Космонавтов	94.8	-56.6	-13.2	34.9	47.0	22.2	16.4	19.2	7.5	207.3	75.6	65.7
		-37.4	-12.2	58.3	98.5	30.5	20.9	25.3	10.03.1998	09.03.2011		
Море Содружества	127.6	-110.4	22.5	93.5	42.2	59.0	4.1	-11.1	0.6	344.7	138.7	120.2
		-46.4	21.4	274.7	49.5	86.0	3.3	-8.0	13.03.2019	15.03.2008		
Море Моусона	210.4	1.7	-79.1	88.5	-19.3	-17.2	-73.1	-90.1	64.5	615.2	300.5	291.0
		0.8	-27.3	72.6	-8.4	-7.6	-25.8	-30.0	12.03.1986	15.03.2013		
Тихоокеанский сектор	1167.5	-483.9	-476.3	98.4	-43.2	139.4	5.9	-436.7	460.0	2429.2	1604.2	1672.5
		-29.3	-29.0	9.2	-3.6	13.6	0.5	-27.2	09.03.2017	15.03.1988		
Море Росса	1150.0	-300.2	-283.0	92.2	-29.6	151.0	102.5	-266.7	316.5	2327.8	1416.7	1453.1
		-20.7	-19.7	8.7	-2.5	15.1	9.8	-18.8	09.03.2017	15.03.1999		
Море Беллинсгаузена	17.5	-183.7	-193.3	6.2	-13.7	-11.7	-96.7	-170.0	10.1	478.2	187.5	176.2
		-91.3	-91.7	55.1	-43.9	-40.2	-84.7	-90.7	11.03.2023	09.03.1980		

16.02-15.03

Регион	S, тыс. км2	Аномалии, тыс км2/%							1978-2026гг			
		2007 г	2012 г	2023 г	2024 г	2025 г	2016-2026гг	1978-2026гг	Минимум дата	Максимум дата	Среднее	Медиана
Южный Океан	2888.8	-261.3	-636.9	851.4	440.7	618.1	300.8	-202.1	1776.9	5056.8	3090.9	3006.4
		-8.3	-18.1	41.8	18.0	27.2	11.6	-6.5	19.02.2023	15.03.2008		
Атлантический сектор	1576.8	311.7	-163.1	431.6	254.6	467.4	278.3	234.4	764.5	2301.7	1342.4	1291.7
		24.6	-9.4	37.7	19.3	42.1	21.4	17.5	17.02.1999	13.03.2015		
Западная часть моря Уэдделла	1559.5	456.8	143.1	539.7	351.5	485.7	398.5	393.4	753.9	1797.0	1166.1	1122.0
		41.4	10.1	52.9	29.1	45.2	34.3	33.7	17.02.1999	13.03.2015		
Восточная часть моря Уэдделла	17.3	-145.2	-306.2	-108.1	-96.9	-18.3	-120.2	-159.0	0.0	661.1	176.3	158.4
		-89.3	-94.6	-86.2	-84.8	-51.4	-87.4	-90.2	22.02.1981	15.03.2009		
Индоокеанский сектор	443.8	-87.9	49.2	215.2	158.3	125.1	37.7	8.2	190.2	906.9	435.6	418.0
		-16.5	12.5	94.1	55.5	39.3	9.3	1.9	20.02.1980	14.03.2008		
Море Космонавтов	95.0	-37.6	-13.9	13.6	43.2	20.8	13.7	14.9	7.5	207.3	80.1	74.9
		-28.4	-12.7	16.7	83.5	28.0	16.8	18.6	10.03.1998	09.03.2011		
Море Содружества	126.7	-88.1	82.3	101.7	71.5	76.5	39.5	30.4	0.0	344.7	96.2	78.2
		-41.0	185.7	406.7	129.7	152.5	45.3	31.6	08.03.1988	15.03.2008		
Море Моусона	222.1	37.8	-19.2	99.9	43.6	27.8	-15.5	-37.1	64.5	615.2	259.2	245.9
		20.5	-8.0	81.7	24.4	14.3	-6.5	-14.3	12.03.1986	15.03.2013		
Тихоокеанский сектор	868.2	-485.0	-523.1	204.7	27.8	25.6	-15.2	-444.7	404.7	2429.2	1312.9	1300.4
		-35.8	-37.6	30.8	3.3	3.0	-1.7	-33.9	07.03.2017	15.03.1988		
Море Росса	839.0	-346.2	-313.6	188.0	40.0	28.3	86.5	-280.8	263.3	2327.8	1119.7	1086.5
		-29.2	-27.2	28.9	5.0	3.5	11.5	-25.1	24.02.2017	15.03.1999		
Море Беллинсгаузена	29.2	-138.8	-209.4	16.7	-12.2	-2.7	-101.7	-164.0	10.1	518.0	193.2	168.9
		-82.6	-87.7	133.1	-29.4	-8.4	-77.7	-84.9	11.03.2023	17.02.1979		

Таблица 10 – Динамика изменения значений ледовитости по сравнению с предыдущей неделей для морей Северной полярной области и Южного океана за текущий 7-дневный (неделя) промежуток времени по данным наблюдений SSMIS

09-15.03

Регион	Сев. полярная область	Сектор 45°W-95°E	Гренландское море	Баренцево море
Разность	26.5	67.9	-25.7	84.8
тыс.кв.км/ сут.	3.8	9.7	-3.7	12.1

09-15.03

Регион	Карское море	Сектор 95°E-170°W	Море Лаптевых	Восточно-Сибирское море
Разность	2.4	-38.9	0.0	0.0
тыс.кв.км/ сут.	0.3	-5.6	0.0	0.0

09-15.03

Регион	Чукотское море	Берингово море	Сектор 170°W-45°W	Море Бофорта
Разность	0.0	31.1	-2.4	0.0
тыс.кв.км/ сут.	0.0	4.4	-0.3	0.0

09-15.03

Регион	Гудзонов залив	Море Лабрадор	Дейвисов пролив	Канадский архипелаг
Разность	-9.7	25.7	19.2	0.0
тыс.кв.км/ сут.	-1.4	3.7	2.7	0.0

09-15.03

Регион	Южный Океан	Атлантический сектор	Западная часть моря Уэдделла	Восточная часть моря Уэдделла
Разность	362.1	114.5	101.0	13.5
тыс.кв.км/ сут.	51.7	16.4	14.4	1.9

09-15.03

Регион	Индоокеанский сектор	Море Космонавтов	Море Содружества	Море Моусона
Разность	14.3	4.6	-5.7	15.4
тыс.кв.км/ сут.	2.0	0.7	-0.8	2.2

09-15.03

Регион	Тихоокеанский сектор	Море Росса	Море Беллинсгаузена	
Разность	233.2	236.1	-2.9	
тыс.кв.км/ сут.	33.3	33.7	-0.4	

Характеристика исходного материала и методика расчетов

Для иллюстрации ледовых условий Арктического региона представлены совмещенные региональные карты ААНИИ [4, 6], Канадской ледовой службы – КЛС [12], Национального ледового центра США – НЛЦ [10], Ледовой службы отделения Аляска НОАА [23] и НИЦ Планета [9]. Совмещение карт выполнено путем перекрытия слоев отдельных ледовых служб в зависимости от времени ледового анализа. Карты ААНИИ характеризуют ледовые условия морей Гренландского...Бофорта, карты НИЦ Планета – Азовского, Каспийского, Берингова, Охотского, Японского, карты НЛЦ – Северных частей Тихого и Атлантического океанов и Арктического бассейна, вод Гренландии, Ледовой службы отделения Аляска НОАА – Берингово, Чукотское моря, КЛС - морей Бофорта, Канадского архипелага, Баффина, Девисова пролива, Лабрадор, Св. Лаврентия. Для ледовых условий и распределения айсбергов Южного океана использованы данные проекта по интегрированному ледовому анализу Южного океана – циркумполярные карты ААНИИ [5, 7], НЛЦ [10, 11] и карты акватории Антарктического полуострова Норвежского метеорологического института (НМИ) [21]. Для построения совмещенных карт используется архив данных в обменном формате ВМО СИГРИД-3 [18] Мирового центра данных по морскому льду (МЦД МЛ) – проекта ВМО «Глобальный Банк Цифровых Данных по Морскому Льду». В пределах отдельного срока выборка карт из архива проводится по критериям близости карт к сроку выпуска карты ААНИИ с максимальным интервалом времени между картами до 7 суток (день недели выпуска карт ААНИИ – вторник, Ледовой службы отделения Аляска НОАА – ежедневно, НИЦ Планета – понедельник-четверг, КЛС – понедельник, НЛЦ – четверг/пятница для морского льда и четверг/пятница – для крупных айсбергов Южного океана, НМИ - понедельник).

Для иллюстрации полей толщин льда СЛО использованы ежедневные данные по распределению средневзвешенной толщины льда численной модели НУСОМ-CICE Датского метеорологического института (ДМИ) [20]. Численная модель НУСОМ-CICE имеет разрешение 10x10 км и является совместной моделью морского льда – океана. Портал полярных данных ДМИ [22] используется также как источник данных по оценке объема льда СЛО, температуры поверхности океана/морского льда, аномалий температуры воздуха и поля приземного ветра.

Для иллюстрации ледовых условий Северной Полярной области и Южного океана за последние сутки используются ежедневные циркумполярные ледовые информационные продукты НЛЦ США по оценке расположения кромки льда и ледяных массивов - MIZ (Marginal Ice Zone).

Для цветовой окраски карт использован стандарт ВМО (WMO/Td. 1215) [19] для зимнего (по возрасту) и летнего (по общей сплоченности) периодов. Следует также отметить, что в зонах стыковки карт ААНИИ, Ледовой службы отделения Аляска НОАА, КЛС и НЛЦ наблюдается определенная несогласованность границ и характеристик ледовых зон вследствие ряда различий в ледовых информационных системах подготавливающих служб. Однако, данная несогласованность несущественна для целей интерпретации ледовых условий в рамках настоящего обзора.

Для оценки распределения толщин льда в морях СМП использованы совмещенные недельные данные дистанционного зондирования ИСЗ Cryosat-2 и Sentinel-3A,B (радиолокационная альтиметрия) и SMOS (пассивное микроволновое зондирование), подготавливаемые Институтом полярных исследований им. А.Вегенера (AWI) [24, 27, 28] и ежедневные данные JAXA [29] на основе ИСЗ AMSR2 (пассивное микроволновое зондирование). Указанный источник [29] также использован для представления информации по дрейфу и возрасту морского льда СЛО и Южного океана.

Для получения оценок ледовитости (extent) и приведенной ледовитости – площади льда (area) отдельных секторов, морей, частей морей Северной полярной области и Южного океана и климатического положения кромок заданной повторяемости на основе данных спутниковых

систем пассивного микроволнового зондирования SSMR-SSM/I-SSMIS [17] и AMSR2 [30] в МЦД МЛ АНИИ принята следующая технология расчетов:

- источник данных – архивные и квазиоперативные с задержкой 1-2 дня ежедневные матрицы (поля распределения) оценок общей сплоченности Северной (севернее 45° с.ш.) и Южной (южнее 50° с.ш.) Полярных областей на основе обработанных по алгоритму NASATEAM данных многоканальных микроволновых радиометров SSMR-SSM/I-SSMIS-AMSR2 за период с 26.10.1978 г. по настоящий момент времени [13, 14, 15, 30], копируемые с сервера НЦДСЛ;
- область расчета – Северная и Южная Полярные области и их регионы с использованием масок океан/суша НЦДСЛ (http://nsidc.org/data/polar_stereo/tools_masks.html);
- границы используемых масок расчета отдельных меридиональных секторов, морей, частей морей Северной полярной области и Южного океана представлены на рисунках П1 – П6 в полярной равноплощадной проекции Ламберта [26], не совпадают с используемыми в НЦДСЛ масками для отдельных акваторий Мирового океана и основаны на цифровой основе Международной гидрографической организации [25], повторяющей по номенклатуре, но не совпадающей по границам (вследствие отсутствия цифросновы) публикациям «Атлас Северного ледовитого океана (1980)» и «Атлас океанов» [1, 2, 3].
- вычислительные особенности расчета – авторское программное обеспечение АНИИ с сохранением точности расчетов и оценке статистических параметров по гистограмме распределения и свободно-распространяемое программное обеспечение GDAL для векторизации полей климатических параметров;

В графическом формате PNG совмещенные карты АНИИ-КЛС-НЛЦ Ледовой службы отделения Аляска НОАА-НИЦ Планета доступны по адресу <http://wdc.aari.ru/datasets/d0040>.

Результаты расчетов ледовитости Северной, Южной полярных областей, их отдельных меридиональных секторов, морей и частей морей доступны на сервере МЦД МЛ АНИИ в каталогах соответственно <http://wdc.aari.ru/datasets/ssmi/data/north/extent/> и <http://wdc.aari.ru/datasets/ssmi/data/south/extent/>.

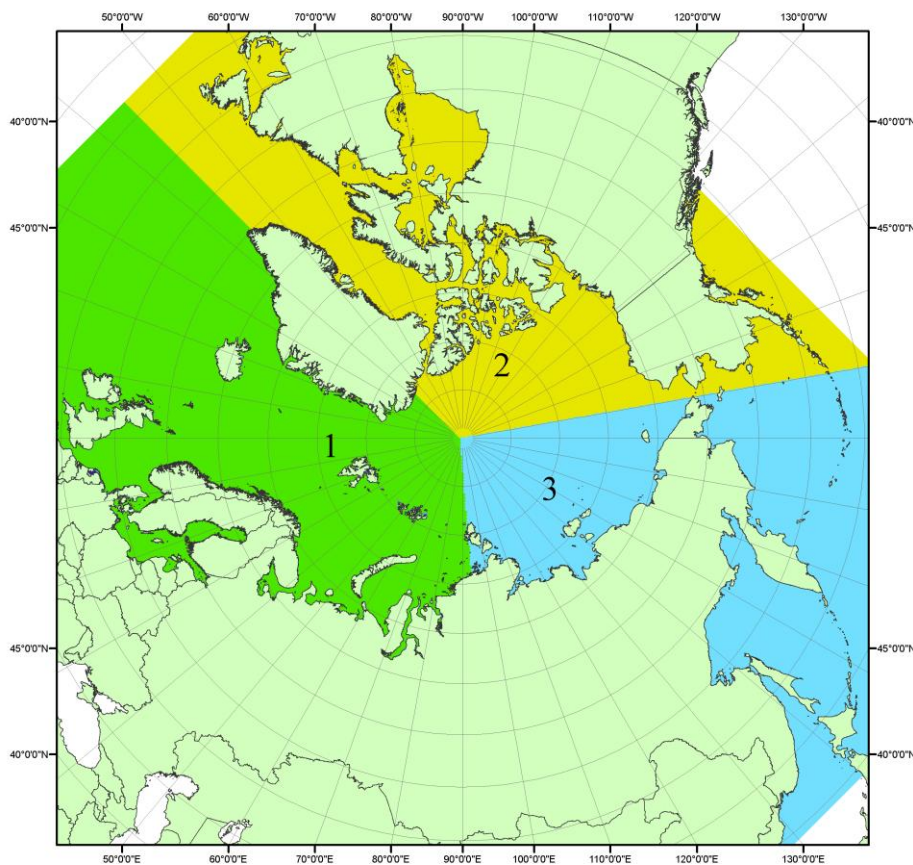


Рисунок П1 – Секторальное деление северной полярной области. 1 - Сектор $45^\circ\text{W}-95^\circ\text{E}$ (Гренландское - Карское моря); 2 - Сектор $170^\circ\text{W}-45^\circ\text{W}$ (море Бофорта и Канадская Арктика); 3 - Сектор $95^\circ\text{E}-170^\circ\text{W}$ (моря Лаптевых - Чукотское, Берингово, Охотское, Японское)

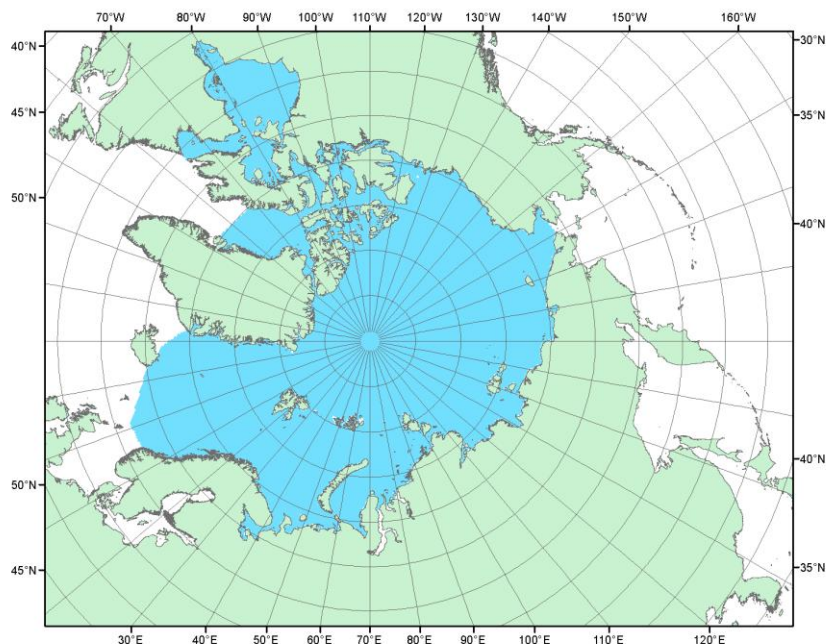


Рисунок П2 – Северный ледовитый океан в официальных границах

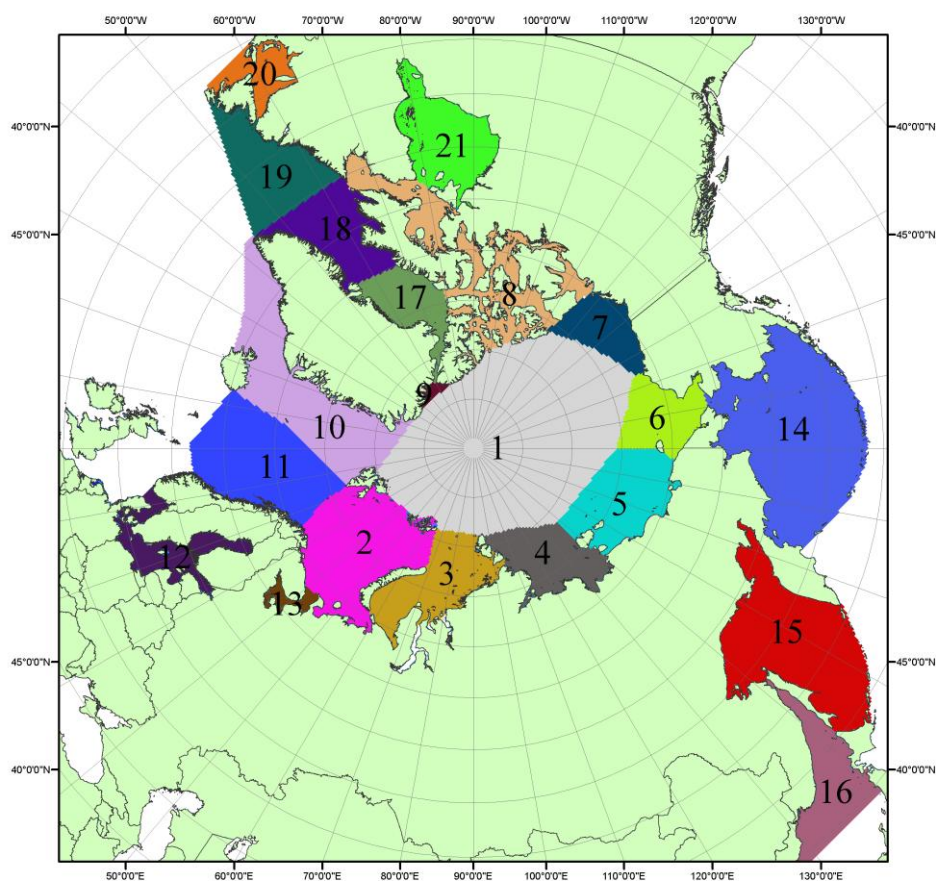


Рисунок П3 – моря северной полярной области. 1 – Арктический бассейн; 2- Баренцево море; 3 – Карское море; 4 – море Лаптевых; 5 - Восточно-Сибирское море; 6 – Чукотское море; 7 – море Бофорта; 8 – Канадский архипелаг; 9 – море Линкольна; 10 – Гренландское море; 11 – Норвежское море; 12 – Балтийское море; 13 – Белое море; 14 – Берингово море; 15 – Охотское море; 16 – Японское море; 17 – море Баффина; 18 – Дейвисов пролив; 19 – море Лабрадор; 20 – залив Святого Лаврентия; 21 – Гудзонов залив.

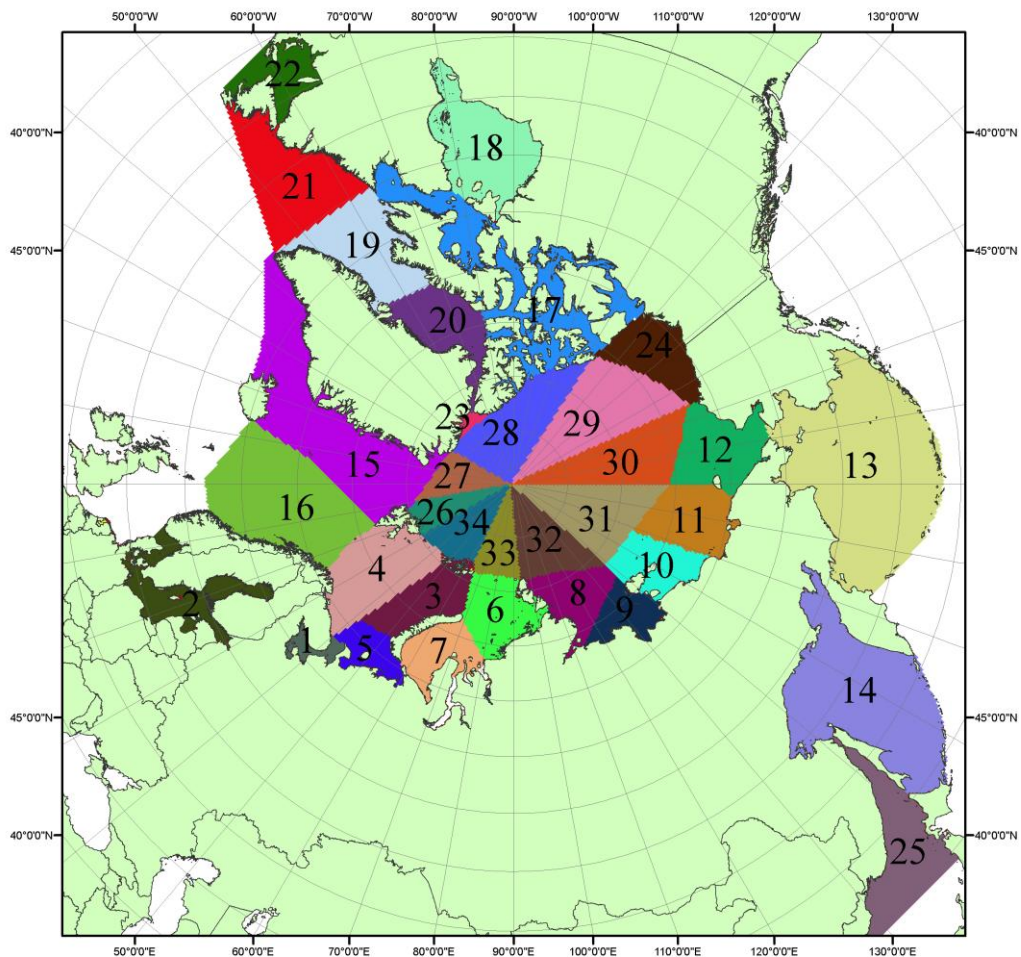


Рисунок П4 – Сектора и моря северной полярной области. 1 - Белое море; 2- Балтийское море; 3 – Баренцево море (СВ); 4 – Баренцево море (З); 5 - Баренцево море (ЮВ); 6 – Карское море (СВ); 7 – Карское море (ЮЗ); 8 – море Лаптевых (В); 9 – море Лаптевых (З); 10 – Восточно-Сибирское море (З); 11 – Восточно-Сибирское море (В); 12 –Чукотское море; 13 –Берингово море; 14 – Охотское море; 15 –Гренландское море; 16 – Норвежское море; 17 – Канадский архипелаг; 18 – Гудзонов залив; 19 – Дейвисов пролив; 20 - море Баффина; 21 – море Лабрадор; 22 - залив Святого Лаврентия; 23 - море Линкольна; 24 - море Бофорта; 25 - Японское море; 26 - сектор АО (30°з.д. – 10°в.д.); 27 – сектор АО (10°в.д. – 30°в.д.); 28 - сектор АО (30°в.д. – 65°в.д.); 29 - сектор АО (65°в.д. – 96°в.д.);30 - сектор АО (96°в.д. – 140°в.д.);31 - сектор АО (140°в.д. – 180°в.д.); 32 - сектор АО (180°в.д. – 156°з.д.); 33 - сектор АО (156°з.д. – 123°з.д.); 34 - сектор АО (123°з.д. – 30°з.д.).

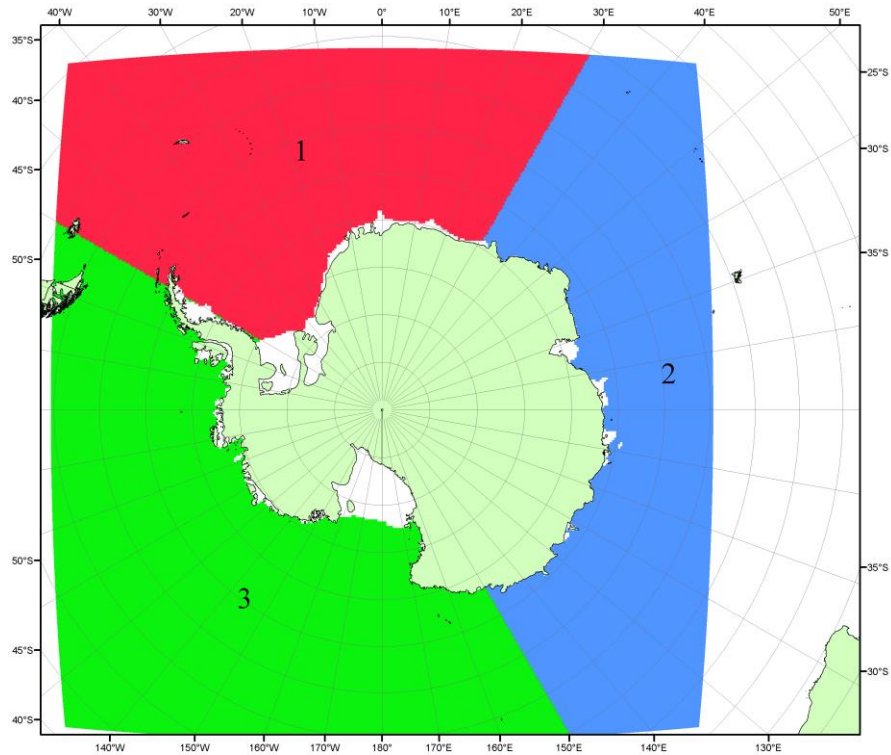


Рисунок П5 – Секторальное деление Южного океана. 1 - Атлантический сектор (60°W-30°E, море Уэдделла); 2 - Индоокеанский сектор (30°E-150°E, моря Космонавтов, Содружества, Моусона); 3 - Тихоокеанский сектор (150°E-60°W, моря Росса, Беллингаузена)

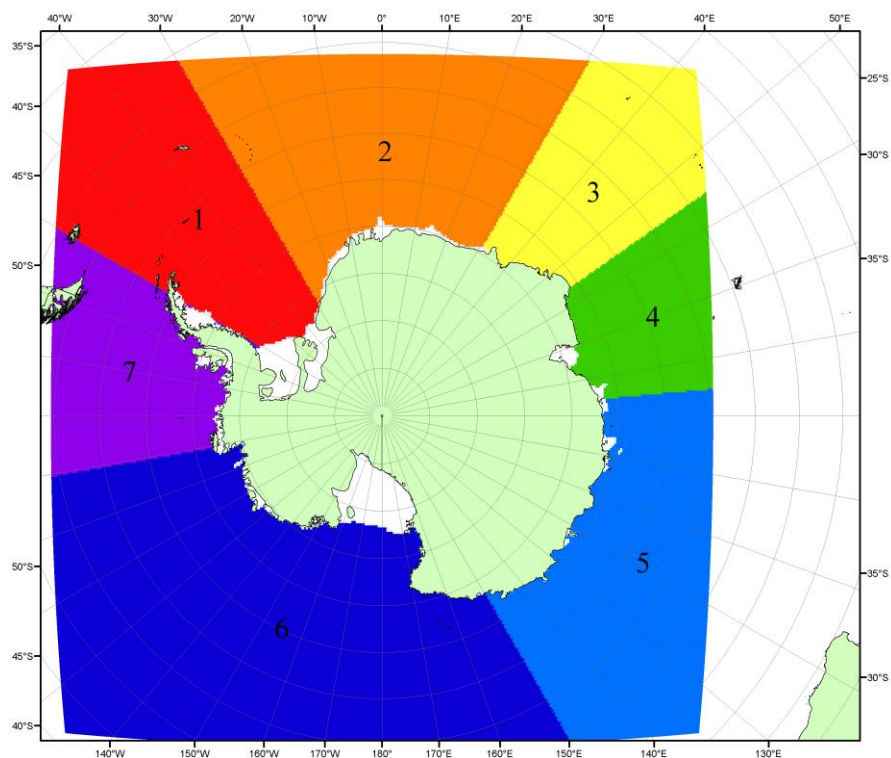


Рисунок П6 – Моря Южного океана. 1 – Западная часть моря Уэдделла; 2- Восточная часть моря Уэдделла; 3 – Море Космонавтов; 4 – море Содружества; 5 – море Моусона; 6 – море Росса; 7 – Море Беллингаузена.

СПИСОК ИСТОЧНИКОВ

1. Атлас океанов. Северный Ледовитый океан. – 1980. М: Изд. ГУНИО МО СССР ВМФ – 184 с.
2. Атлас океанов. Термины. Понятия. Справочные таблицы. - Изд. ВМФ МО СССР.-1980.
3. Границы океанов и морей. – 1960. Л.: Изд. ГУНИО ВМФ. – 51 с.
4. Обзорные ледовые карты ФГБУ «АНИИ» Северного Ледовитого океана за 2008 – настоящий момент времени в обменном формате ВМО СИГРИД-3 // Мировой центр данных по морскому льду - Глобальный банк данных по морскому льду – <http://wdc.aari.ru/datasets/d0015>.
5. Комплексные ледовые карты ФГБУ «АНИИ» Южного океана за 2014 год – настоящий момент времени в обменном формате ВМО СИГРИД-3 // Мировой центр данных по морскому льду - Глобальный банк данных по морскому льду – <http://wdc.aari.ru/datasets/d0015>.
6. Комплексные ледовые карты ФГБУ «АНИИ» арктических и замерзающих морей России за 1997 – 2021 гг. в обменном формате ВМО СИГРИД-3 // Мировой центр данных по морскому льду - Глобальный банк данных по морскому льду – <http://wdc.aari.ru/datasets/d0004>.
7. Карты ФГБУ «АНИИ» анализа крупных айсбергов Южного океана за 2014-2020 гг. в обменном формате ВМО СИГРИД-3 // Мировой центр данных по морскому льду - Глобальный банк данных по морскому льду – <http://wdc.aari.ru/datasets/d0015>.
8. Комплексные ледовые карты ФГБУ «Гидрометцентр России» Азовского, Каспийского и Белого морей за 2000-2019 гг. в обменном формате ВМО СИГРИД-3 // Мировой центр данных по морскому льду - Глобальный банк данных по морскому льду – <http://wdc.aari.ru/datasets/d0033>.
9. Комплексные ледовые карты ФГБУ «НИЦ Планета» Азовского, Каспийского, Берингова, Охотского и Японского морей за 2016 год – настоящий момент времени в обменном формате ВМО СИГРИД-3 // Мировой центр данных по морскому льду - Глобальный банк данных по морскому льду – <http://wdc.aari.ru/datasets/d0034>.
10. Комплексные ледовые карты Северной полярной области и Южного океана Национального ледового центра США за 2003 год – настоящий момент времени в обменном формате ВМО СИГРИД-3 // Мировой центр данных по морскому льду - Глобальный банк данных по морскому льду – <http://wdc.aari.ru/datasets/d0032>.
11. Карты анализа крупных айсбергов Южного океана Национального ледового центра США за 2014 год – настоящий момент времени в обменном формате ВМО СИГРИД-3 // Мировой центр данных по морскому льду - Глобальный банк данных по морскому льду – <http://wdc.aari.ru/datasets/d0032>.
12. Комплексные ледовые карты Канадской Арктики Канадской ледовой службы за 2006 – настоящий момент времени в обменном формате ВМО СИГРИД-3 // Мировой центр данных по морскому льду - Глобальный банк данных по морскому льду – <http://wdc.aari.ru/datasets/d0031>.
13. Cavalieri, D., C. Parkinson, P. Gloersen, and H. J. Zwally. 1996, updated 2008. *Sea Ice Concentrations from Nimbus-7 SMMR and DMSP SSM/I Passive Microwave Data*, [1978.10.26 – 2007.12.31]. Boulder, Colorado USA: National Snow and Ice Data Center. Digital media.
14. Meier, W., F. Fetterer, K. Knowles, M. Savoie, M. J. Brodzik. 2006, updated quarterly. *Sea Ice Concentrations from Nimbus-7 SMMR and DMSP SSM/I Passive Microwave Data*, [2008.01.01 – 2008.03.25]. Boulder, Colorado USA: National Snow and Ice Data Center. Digital media.
15. Maslanik, J., and J. Stroeve. 1999, updated daily. *Near-Real-Time DMSP SSM/I-SSMIS Daily Polar Gridded Sea Ice Concentrations*, [2008.03.26 – present moment]. Boulder, Colorado USA: National Snow and Ice Data Center. Digital media.
16. Andersen, S., R. Tonboe, L. Kaleschke, G. Heygster, and L. T. Pedersen, Intercomparison of passive microwave sea ice concentration retrievals over the high-concentration Arctic sea ice.// J. Geophys. Res. – 2007. – Vol. 112. C08004, doi:10.1029/2006JC003543.
17. Статистические характеристики сплоченности морского льда Северной полярной области и Южного океана на основе данных наблюдений SSMR-SSM/I-SSMIS, алгоритм NASATEAM // Мировой центр данных по морскому льду - Глобальный банк данных по

морскому льду – <http://wdc.aari.ru/datasets/ssmi>.

18. SIGRID-3: A vector archive format for Sea Ice Georeferenced Information and Data - JCOMM Technical Report Series No. 23, 2014, WMO/TD-No.1214.

19. Ice Chart Colour Code Standard. - JCOMM Technical Report Series No. 24, 2004, WMO/TD-No.1215.

(http://jcomm.info/index.php?option=com_oe&task=viewDocumentRecord&docID=4914)

20. Danish Meteorological Institute North Atlantic - Arctic Ocean model HYCOM-CICE - <http://ocean.dmi.dk/models/hycom.uk.php>

21. Портал данных ледового анализа Южного океана Норвежского метеорологического института - <http://polarview.met.no/Antarctic.html>

22. Портал полярных данных Датского метеорологического института - <http://polarportal.dk>

23. Комплексные ледовые карты Берингова и чукотского морей Ледовой службы отделения НОАА Аляска в обменном формате ВМО СИГРИД-3 // <https://www.weather.gov/>.

24. AWI CryoSat-SMOS Merged Sea Ice Thickness - <https://spaces.awi.de/display/CS2SMOS/CryoSat-SMOS+Merged+Sea+Ice+Thickness>

25. Flanders Marine Institute (2018). IHO Sea Areas, version 3. Available online at URL: <http://www.marineregions.org/> (дата обращения 08.04.2023).

26. Полярная равноплощадная проекция Ламберта. URL: <https://epsg.io/3576> (дата обращения 07.04.2023).

27. ESA project SMOS & CryoSat-2 Sea Ice Data Product Processing and Dissemination Service and data from 2010 to 2024, obtained from <https://www.meereisportal.de> (grant: REKLIM-2013-04)/ Ricker, R., Hendricks, S., Kaleschke, L., Tian-Kunze, X., King, J., and Haas, C.:

28. A weekly Arctic sea-ice thickness data record from merged CryoSat-2 and SMOS satellite data, *The Cryosphere*, 11, 1607-1623, <https://doi.org/10.5194/tc-11-1607-2017>, 2017.

29. Kimura, N., M. Oyama, T. Sugimura, 2022, Daily Polar Gridded Sea Ice Age, Version 1, 1.00, Arctic Data archive System (ADS), Japan, <https://ads.nipr.ac.jp/dataset/A20220527-001>

30. Stewart, J. S., Meier, W. N., Marowitz, R., Scott, D. J. & Wilcox, H. (2025). *AMSR2 Daily Polar Gridded Sea Ice Concentrations*. (NSIDC-0803, Version 2). [Data Set]. Boulder, Colorado USA. National Snow and Ice Data Center. <https://doi.org/10.5067/W13AO54SS7CW>.